

Tafeln

Autor(en): **[s.n.]**

Objektyp: **Appendix**

Zeitschrift: **Eclogae Geologicae Helvetiae**

Band (Jahr): **46 (1953)**

PDF erstellt am: **21.07.2024**

Nutzungsbedingungen

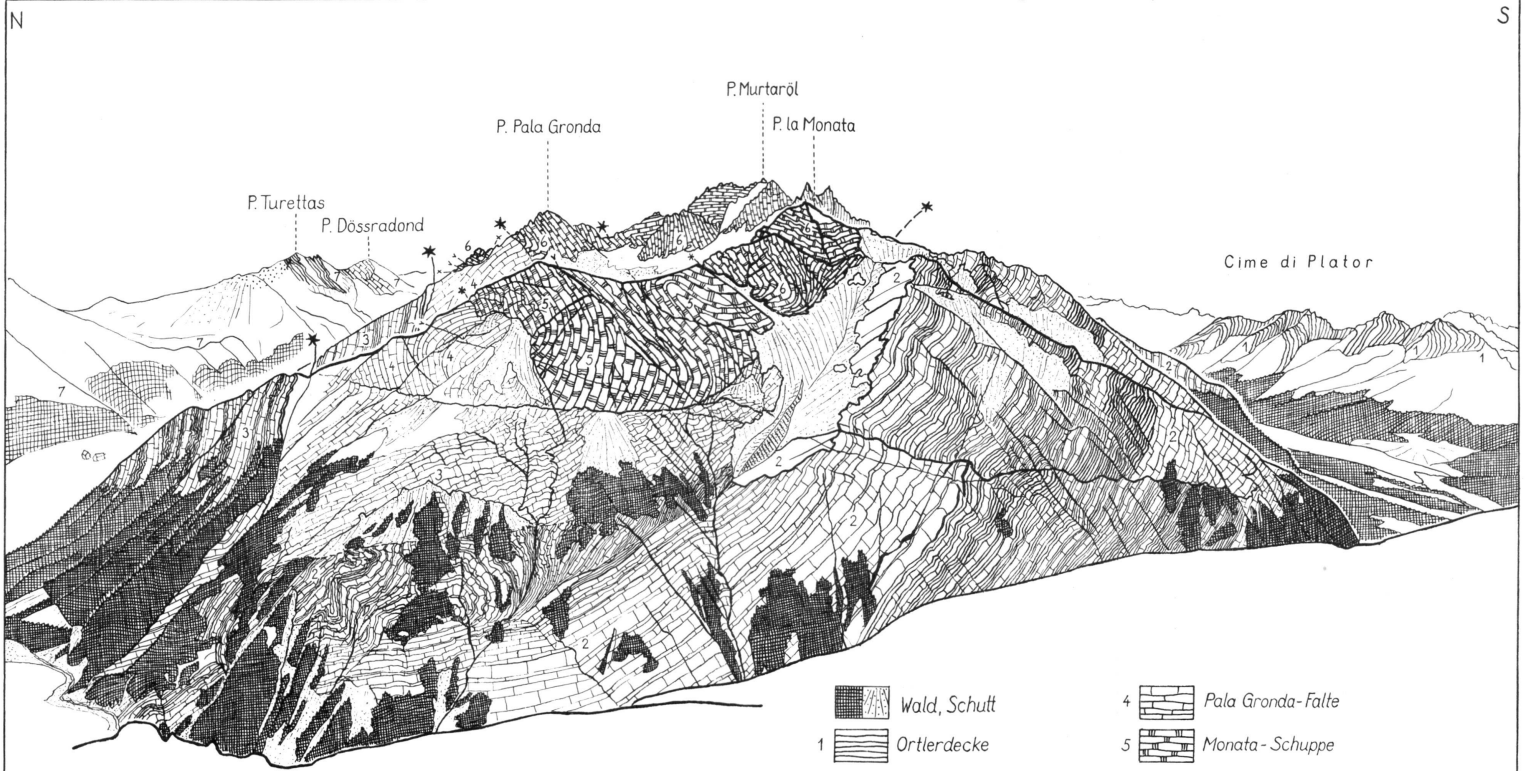
Die ETH-Bibliothek ist Anbieterin der digitalisierten Zeitschriften. Sie besitzt keine Urheberrechte an den Inhalten der Zeitschriften. Die Rechte liegen in der Regel bei den Herausgebern.

Die auf der Plattform e-periodica veröffentlichten Dokumente stehen für nicht-kommerzielle Zwecke in Lehre und Forschung sowie für die private Nutzung frei zur Verfügung. Einzelne Dateien oder Ausdrucke aus diesem Angebot können zusammen mit diesen Nutzungsbedingungen und den korrekten Herkunftsbezeichnungen weitergegeben werden.

Das Veröffentlichen von Bildern in Print- und Online-Publikationen ist nur mit vorheriger Genehmigung der Rechteinhaber erlaubt. Die systematische Speicherung von Teilen des elektronischen Angebots auf anderen Servern bedarf ebenfalls des schriftlichen Einverständnisses der Rechteinhaber.

Haftungsausschluss






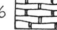


Alle Angaben erfolgen ohne Gewähr für Vollständigkeit oder Richtigkeit. Es wird keine Haftung übernommen für Schäden durch die Verwendung von Informationen aus diesem Online-Angebot oder durch das Fehlen von Informationen. Dies gilt auch für Inhalte Dritter, die über dieses Angebot zugänglich sind.

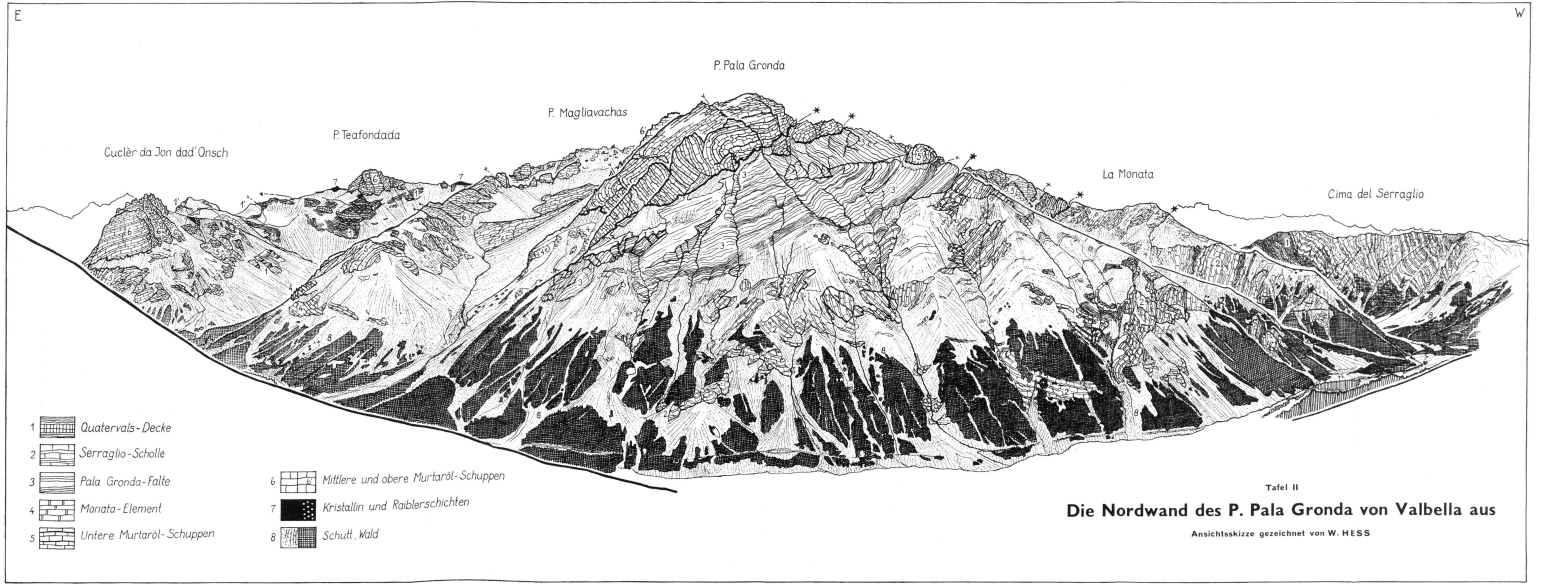


Tafel I

Die Westseite der P. Murtaröl-Gruppe von der Cima del Serraglio aus

Ansichtsskizze gezeichnet von W. HESS

- | | | | |
|---|-------------------|---|---------------------|
|  | Wald, Schutt |  | 4 Pala Gronda-Falte |
| 1  | Ortlerdecke |  | 5 Monata-Schuppe |
| 2  | Quaternals-Decke |  | 6 Murtaröl-Schuppen |
| 3  | Serraglio-Scholle |  | 7 Scarldecke |



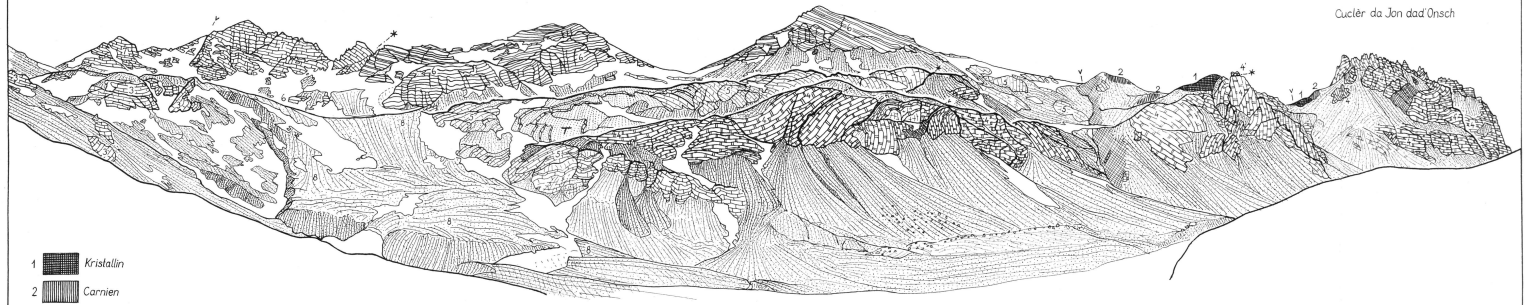
SSE

NNW

P. Schumbraida

Pt. 2944 LK

Cucilèr da Jon dad' Onsch



- | | | | | | |
|---|--|---|---|--|--|
| 1 | | Kristallin | 6 | | Verschürfte Teile der Quaternals-Decke |
| 2 | | Carnien | 7 | | Gipfeldolomit des P. Schumbraida |
| 3 | | Heller Hauptdolomit im hintern Val Schumbraida (Zugehörigkeit?) | 8 | | Blockstrom, Schutt |
| 4 | | Jon dad' Onsch - Schuppen | | | |
| 5 | | Lichte Dolomite der Scherbenzone | | | |

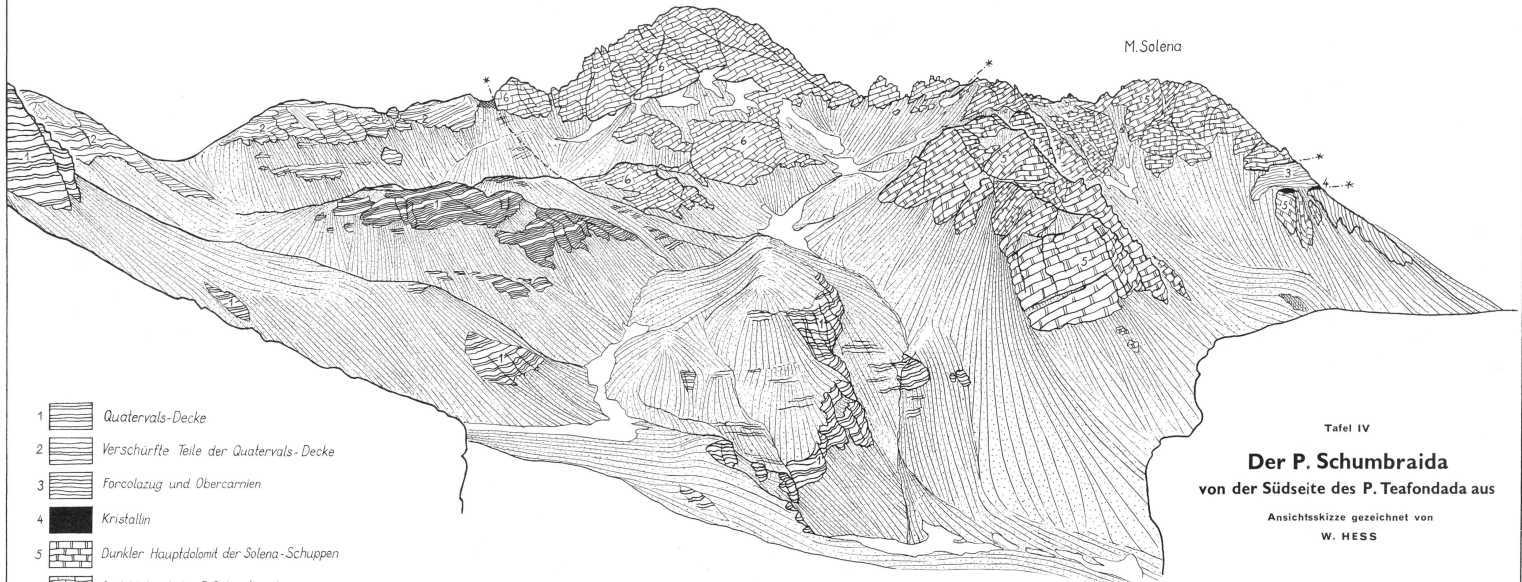
Tafel III
Der Pt. 2944 LK vom hintern Val Schumbraida aus
 Ansichtsskizze gezeichnet von W. HESS

N

S

P. Schumbraida

M. Solena



- 1 Quaternals-Decke
- 2 Verschurfte Teile der Quaternals-Decke
- 3 Forcolazug und Obercarriren
- 4 Kristallin
- 5 Dunkler Hauptdolomit der Solena-Schuppen
- 6 Gipfeldolomit des P. Schumbraida

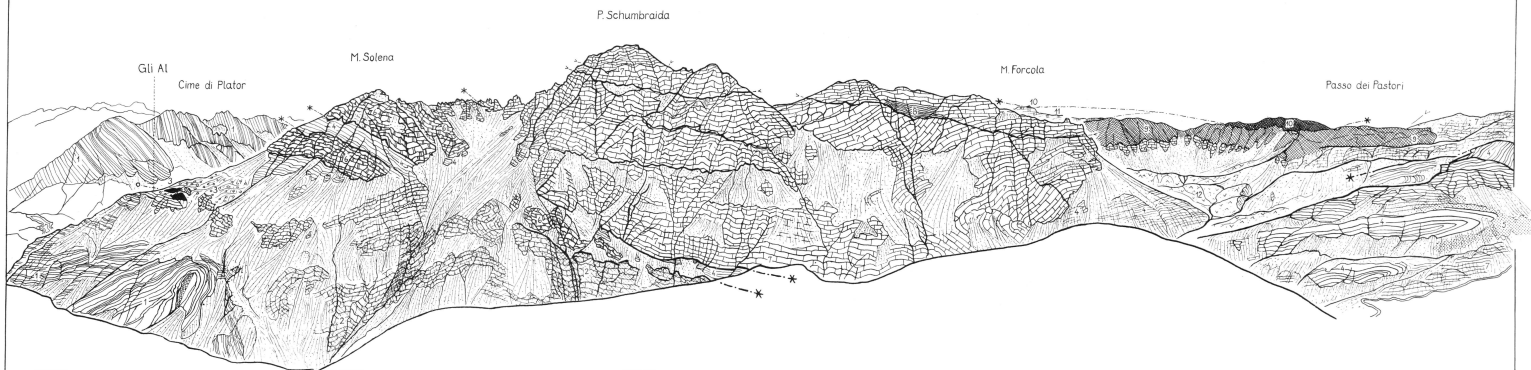
Tafel IV

Der P. Schumbraida
 von der Südseite des P. Teafondada aus

Ansichtsskizze gezeichnet von
 W. HESS

SW

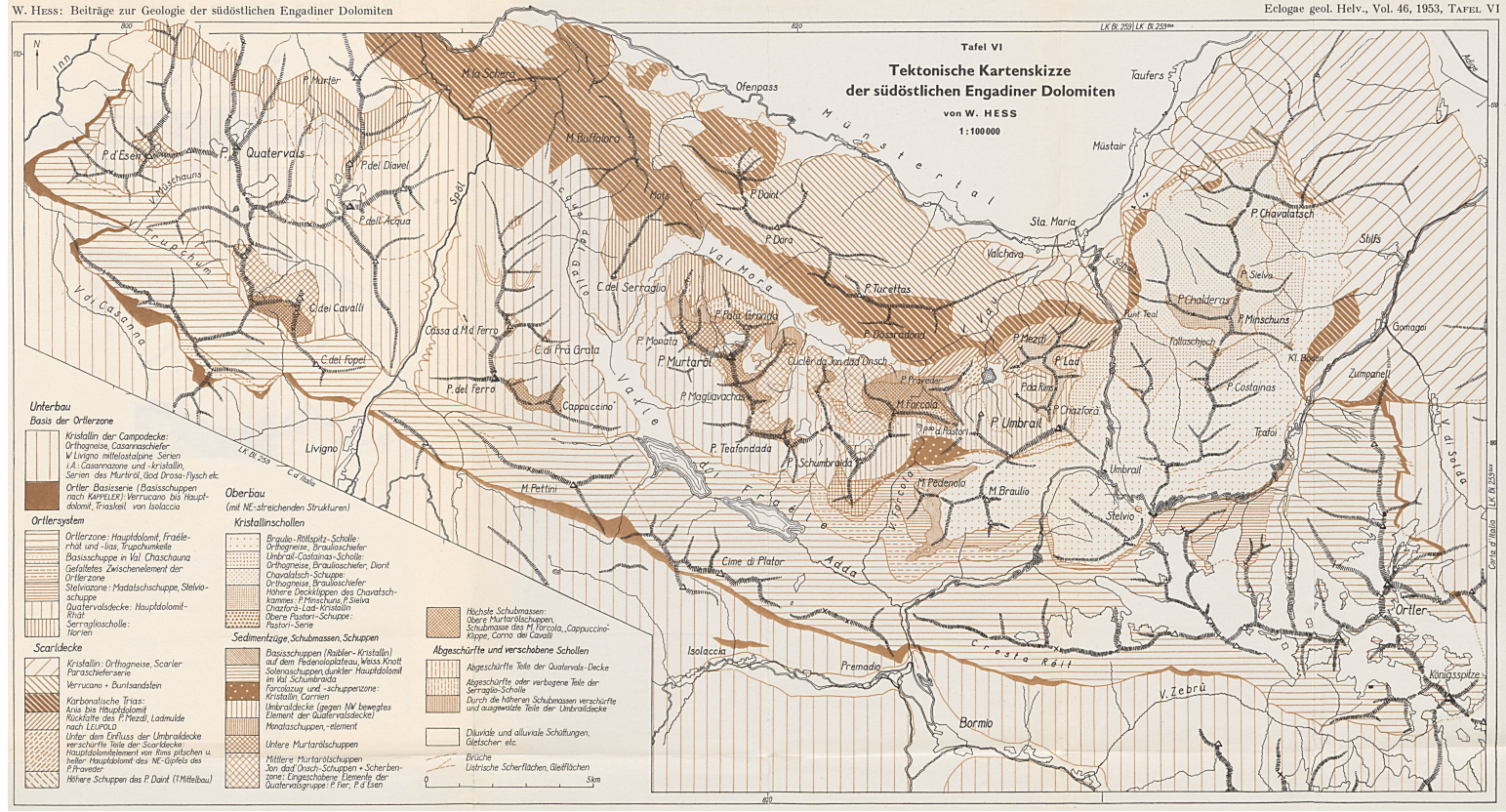
NE



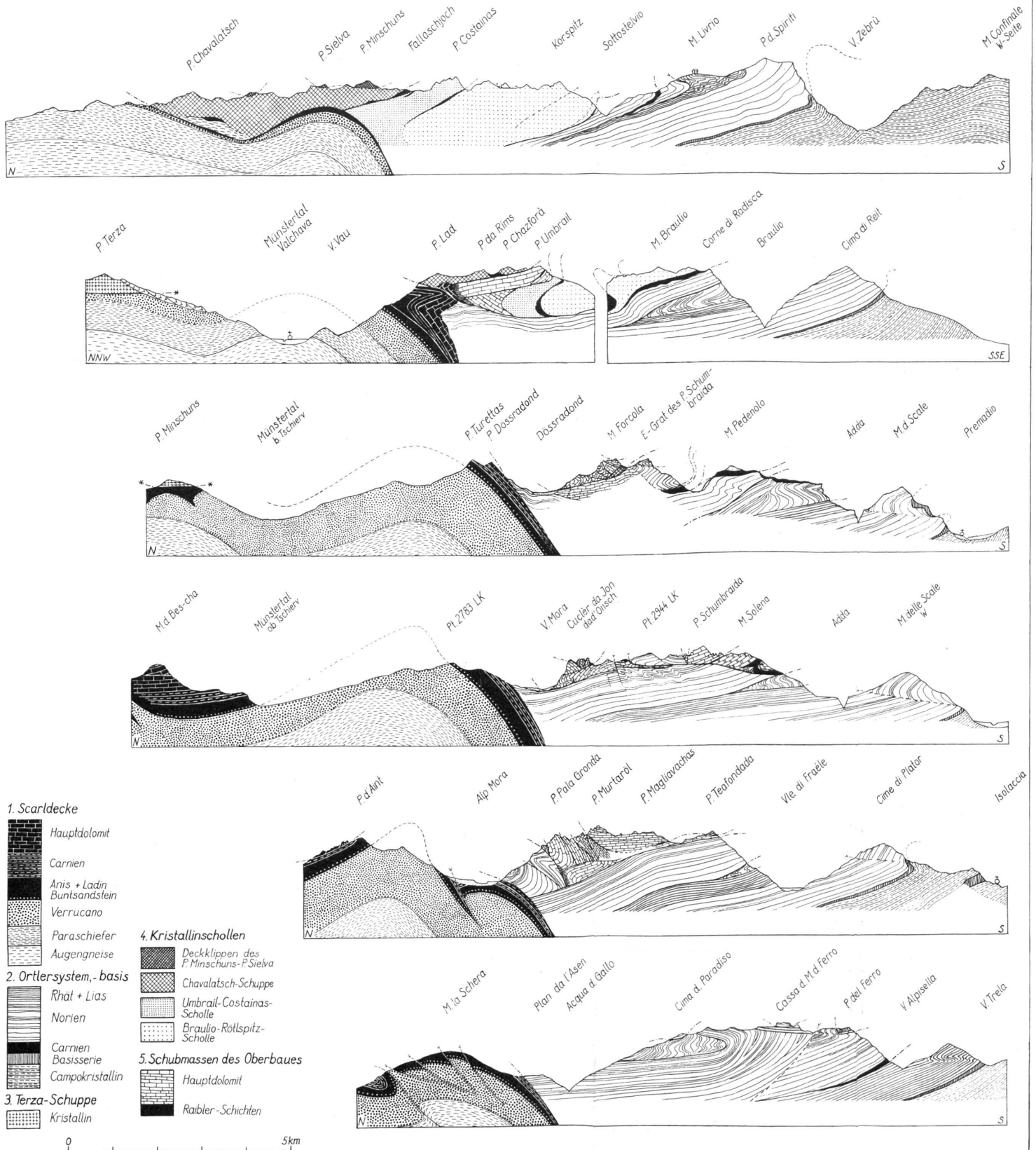
- | | | | | | | | |
|---|---|---|--|---|---|----|--|
| 1 | Orttterdecke | 4 | Forcolazug und Schuppenzone | 7 | Hauptdolomit - Serie des P. Schumbraida | 10 | Oberes Pastorkristallin (Pastor Serie) |
| 2 | Stehioschuppe (-Quaternals-Decke?) | 5 | Rauhwanke | 8 | Kalkschiefer | 11 | Hauptdolomit der Forcola-Schubmasse |
| 3 | Kristallin und Raiblerfetzen von Gli Al | 6 | Solena-Schuppen (dunkler Hauptdolomit) | 9 | Unteres Pastorkristallin | 12 | Schutt, Moräne |

Tafel V
Der P. Schumbraida vom M. Pedenolo aus
 Ansichtsskizze gezeichnet von W. HESS

Tafel VI
Tektonische Kartenskizze
der südöstlichen Engadiner Dolomiten
von W. HESS
1:100 000



- Unterbau**
Basis der Ortlerzone
- Kristallin der Campodecke: Orthogneise, Cassanerader, W. Livigno mittelalpine Serien (A. Cassanone und -Kristallin, Serien des Murterl, das Bras-Flisch etc.)
 - Ortler-Basisserie (Basisschuppen nach Karelitz); Verrucano bis Hauptdolom., Trasselt, von Isolaccia
- Ortlerzone**
- Ortlerzone: Hauptdolom., Frazelrhof und -Isas, Truschankelle
 - Basisschuppe in Val Chiuschona
 - Gastaltes Zwischenelement der Ortlerzone
 - Steinkavone: Madatschuppe, Stelvaschuppe
 - Quaternärschale: Hauptdolom.-Flisch
 - Serragioschale: Harten
- Ortlersystem**
- Ortlerzone: Hauptdolom., Frazelrhof und -Isas, Truschankelle
 - Basisschuppe in Val Chiuschona
 - Gastaltes Zwischenelement der Ortlerzone
 - Steinkavone: Madatschuppe, Stelvaschuppe
 - Quaternärschale: Hauptdolom.-Flisch
 - Serragioschale: Harten
- Scaridecke**
- Kristallin: Orthogneise, Scarier, Parascieferserie
 - Verrucano + Dunisandstein
 - Karbonsische Trias: Isas bis Hauptdolom.
 - Rückfalte des P. Meadi, Ladmilde nach Livigno
 - Unter dem Einfluss der Unterwaldschale verschärfte Teile der Scaridecke
 - Hauptdolomentelement von Ilms pilschen u. höherer Hauptdolom. des NE-Gipfels des P. Paveter
 - Höhere Schuppen des P. Dairt (Mittelbau)
- Oberbau**
(mit NE-streichenden Strukturen)
- Kristallinschollen**
- Braulo-Rittspitz-Scholle
 - Orthogneise, Brauloschiefer
 - Unterwald-Costaino-Scholle
 - Orthogneise, Brauloschiefer, Dairt
 - Charvatal-Schuppe
 - Orthogneise, Brauloschiefer
 - Höhere Deckklippen des Charvatalzuges: P. Fensch, P. Sius
 - Charvatal-Lad-Kristallin
 - Oberer Pastor-Schuppe
 - Pastor-Serie
- Sedimentzüge, Schumassen, Schuppen**
- Basisschuppen (Kristallin-Kristallin) auf dem Fedenolplateau, Weiss-Kroitt
 - Solensschuppen dunkler Hauptdolom. im Val Schustarata
 - Fornelstau und -schuppenzone: Kristallin-Tauern
 - Unterwaldschale (gegen NW bewegtes Element der Quaternärschale)
 - Madatschuppen-element
 - Untere Murtaraschuppen
 - Mittlere Murtaraschuppen
 - Son. daz. Ortler-Schuppen + Scherbenzone: Engadiner Elemente der Quaternärschuppe P. Fer., P. d. Ean
- Abgeschrägte und verschabene Schollen**
- Rückfalte Schumassen: Oberer Murtaraschuppen, Schumasse des M. Forcola, Cappuccino-Kippe, Cornu del Cavall
 - Abgeschrägte Teile der Quaternärschale
 - Abgeschrägte oder verbogene Teile der Serragioschale
 - Durch die höheren Schumassen verschärft und ausgeweitet: Teile der Unterwaldschale
 - Diluviale und alluviale Schaltungen
 - Brüche
 - Listrische Scherflächen, Gleitflächen



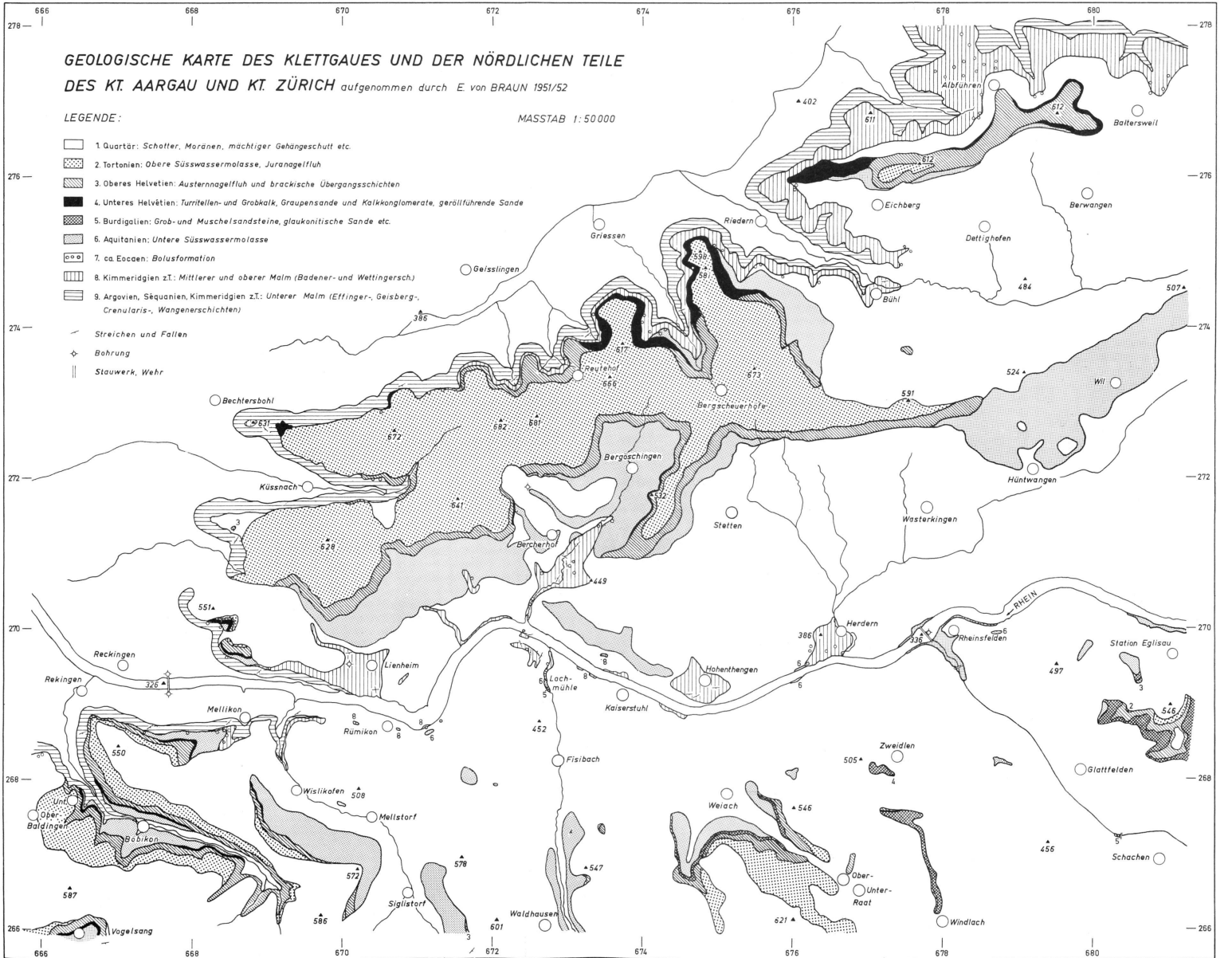
Tafel VII Tektonische Profile durch die südöstlichen Engadiner Dolomiten von W. HESS

GEOLOGISCHE KORTE DES KLETTGAUES UND DER NÖRDLICHEN TEILE DES KT. AARGAU UND KT. ZÜRICH aufgenommen durch E. von BRAUN 1951/52

LEGENDE:

MASSTAB 1:50 000

- 1 Quartär: Schotter, Moränen, mächtiger Gehängeschutt etc.
 - 2 Tortonien: Obere Süßwassermolasse, Juranagefluh
 - 3 Oberes Helvetien: Austernagefluh und brackische Übergangsschichten
 - 4 Unteres Helvetien: Turritellen- und Grabkalk, Graupensande und Kalkkonglomerate, geröllführende Sande
 - 5 Burdigalien: Grab- und Muschelsandsteine, glaukonitische Sande etc.
 - 6 Aquitanien: Untere Süßwassermolasse
 - 7 ca. Eocæn: Bolusformation
 - 8 Kimmeridgien z.T.: Mittlerer und oberer Malm (Badener- und Wettingersch.)
 - 9 Argovien, Säuquanien, Kimmeridgien z.T.: Unterer Malm (Epfinger-, Geisberg-, Crenularis-, Wangenschichten)
- Streichen und Fallen
 ◊ Bohrung
 || Stauwerk, Wehr

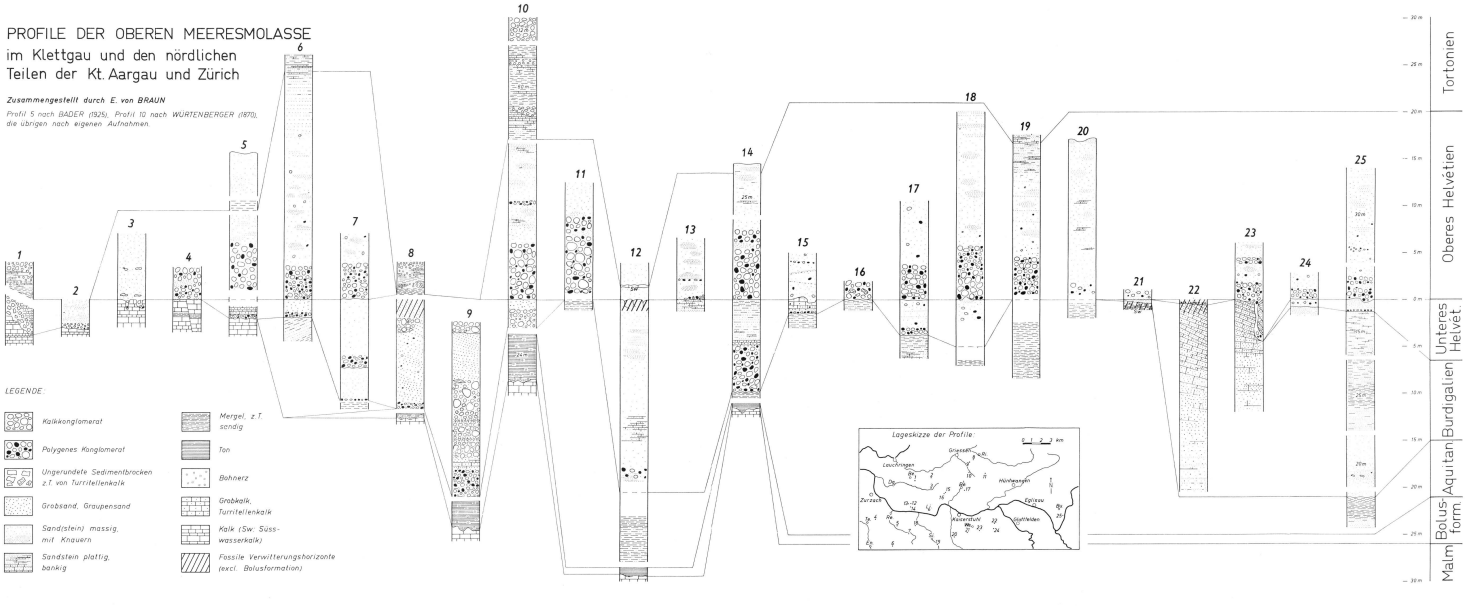


PROFILE DER OBEREN MEERESMASSE im Klettgau und den nördlichen Teilen der Kt. Aargau und Zürich

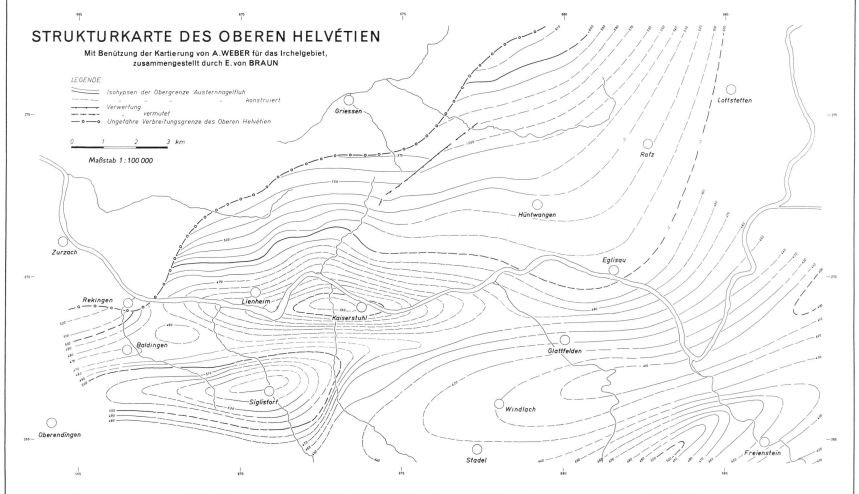
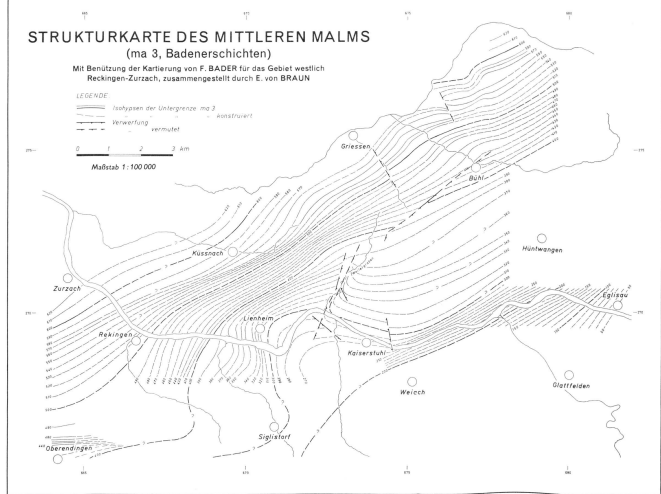
Zusammengestellt durch E. von BRAUN
Profil 5 nach BADER (1926), Profil 10 nach WÜRTEMBERGER (1870),
die übrigen nach eigenen Aufnahmen.

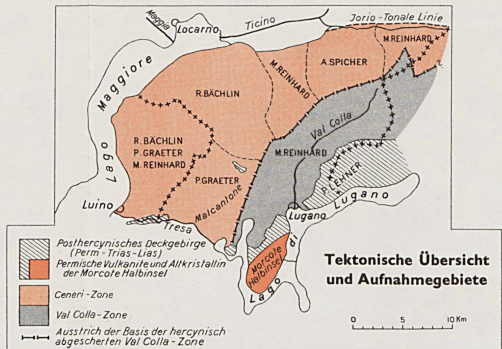
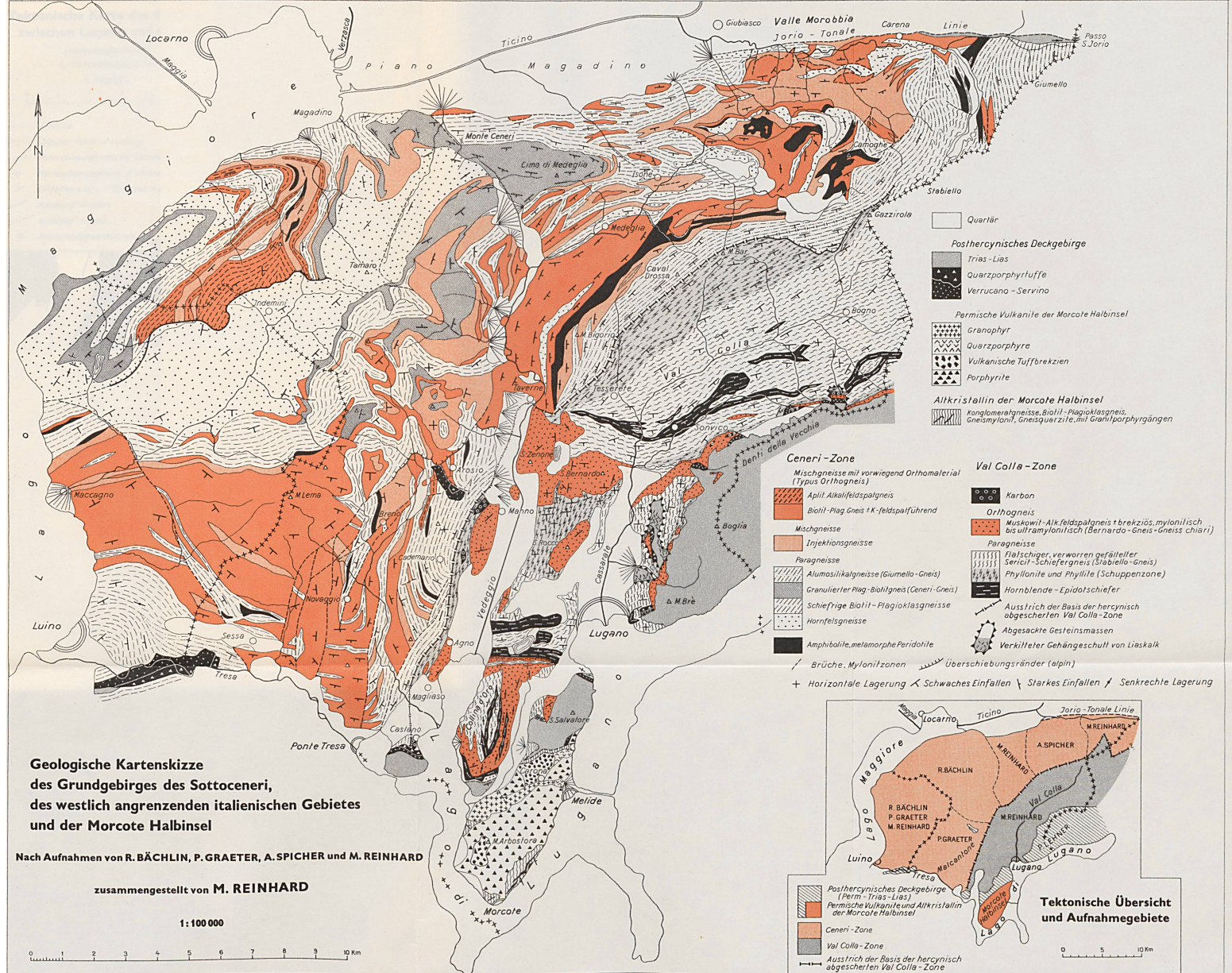
LEGENDE:

- | | |
|--|--|
| | |
| | |
| | |
| | |
| | |
| | |



Tortonien
Oberes Helvetien
Unteres Helvet.
Burdigalien
Böhus, Aquitan.
Maum, form.

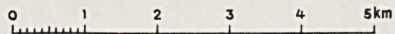




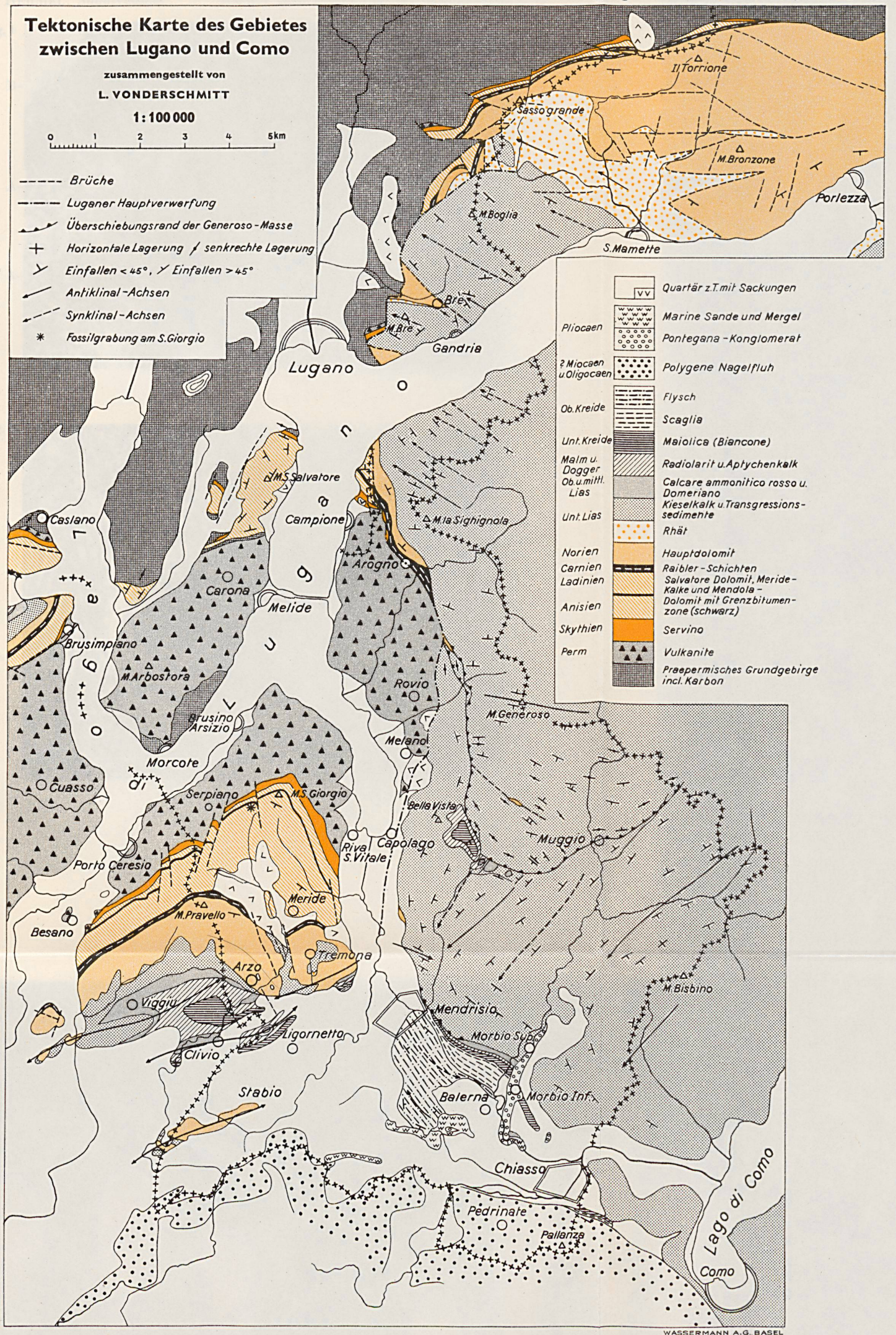
Tektonische Karte des Gebietes zwischen Lugano und Como

zusammengestellt von
L. VONDERSCHMITT

1:100 000



- Brüche
- - - Luganer Hauptverwerfung
- ↗ Überschiebungsrind der Generoso-Masse
- + Horizontale Lagerung / senkrechte Lagerung
- ∠ Einfallen < 45°, ∠ Einfallen > 45°
- ↖ Antiklinal-Achsen
- ↗ Synklinal-Achsen
- * Fossilgrabung am S. Giorgio



	Quartär z.T. mit Sackungen
	Marine Sande und Mergel
	Pontegana-Konglomerat
	Polygene Nagelfluh
	Flysch
	Scaglia
	Maiolica (Biancone)
	Radiolarit u. Aptenienkalk
	Calcare ammonitico rosso u. Domeriano
	Kieselkalk u. Transgressions-sedimente
	Rhät
	Hauptdolomit
	Raibler-Schichten
	Salvatore Dolomit, Meride-Kalke und Mendola-Dolomit mit Grenzbitumenzone (schwarz)
	Servino
	Vulkanite
	Prepermisches Grundgebirge incl. Karbon

Fig. 1

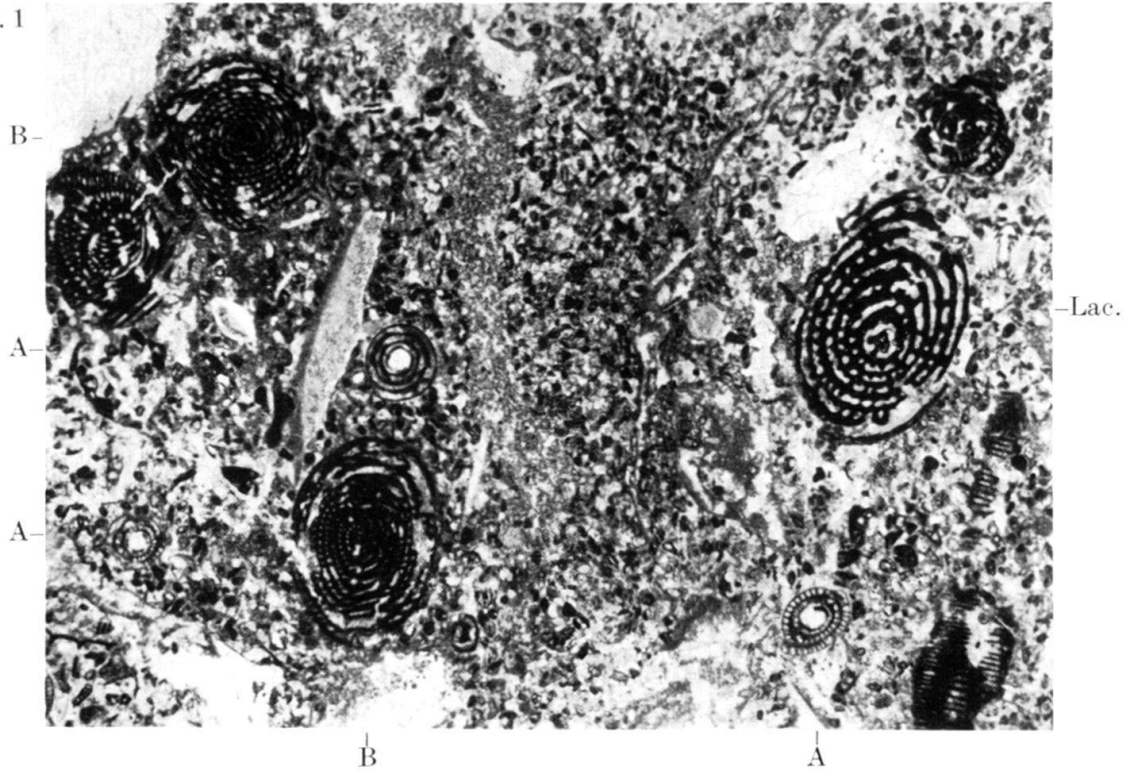


Fig. 2

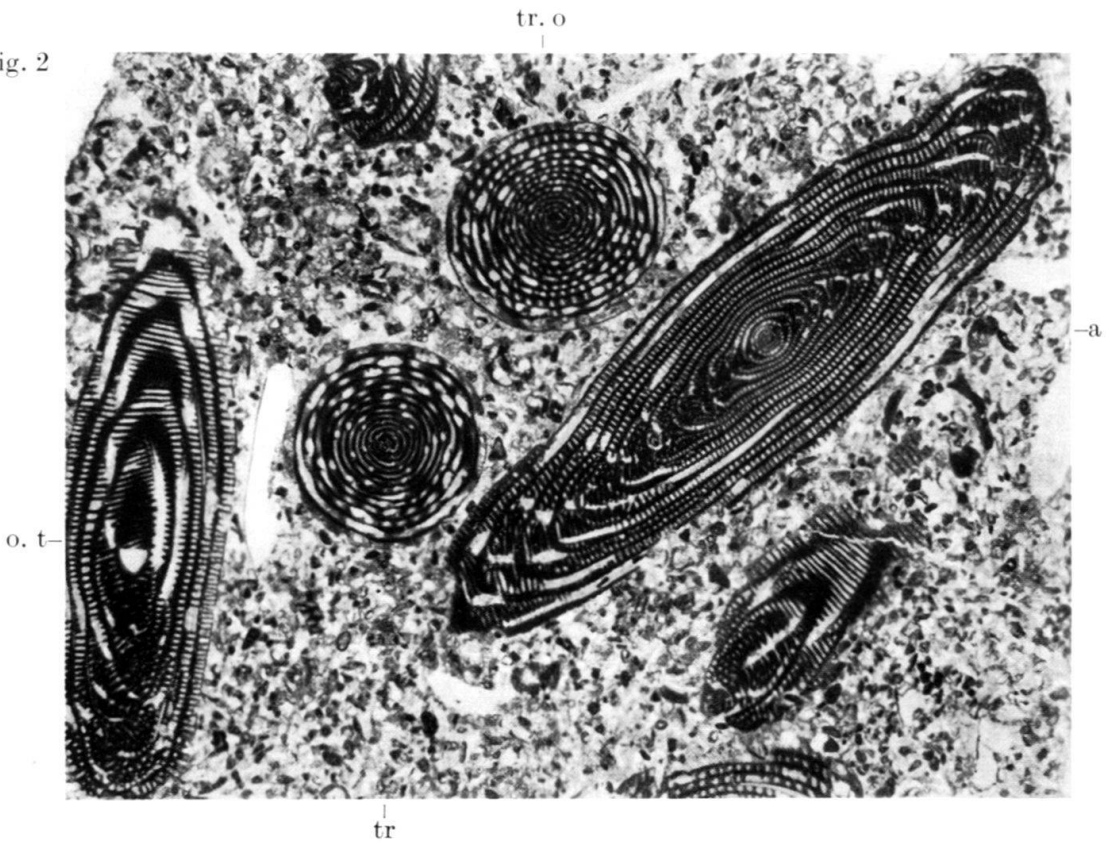


Fig. 1

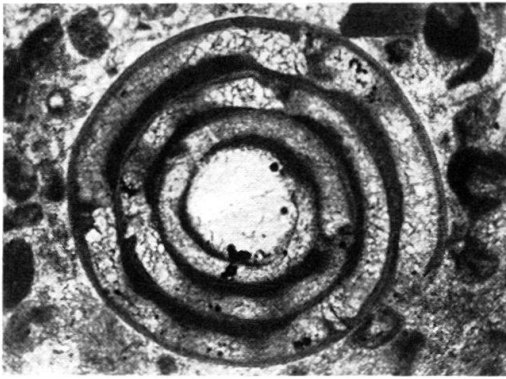


Fig. 2

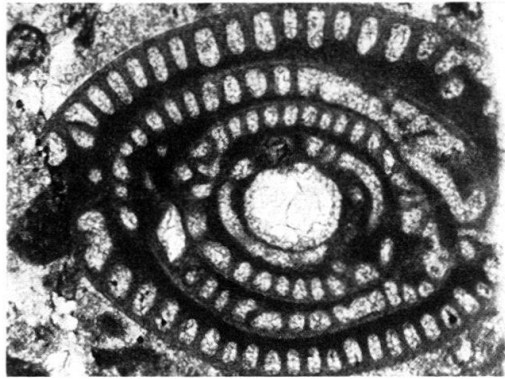


Fig. 3

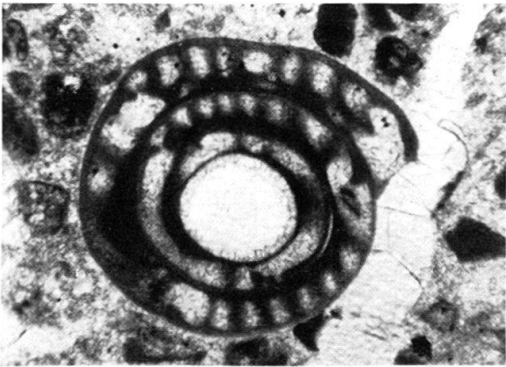


Fig. 4

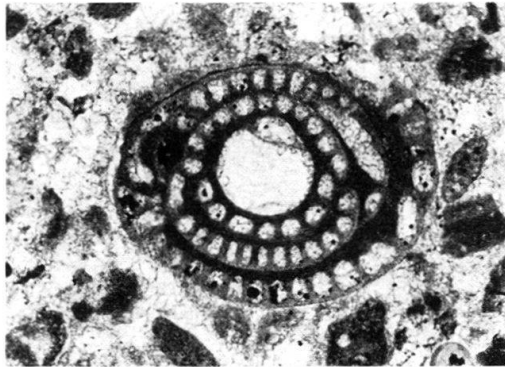
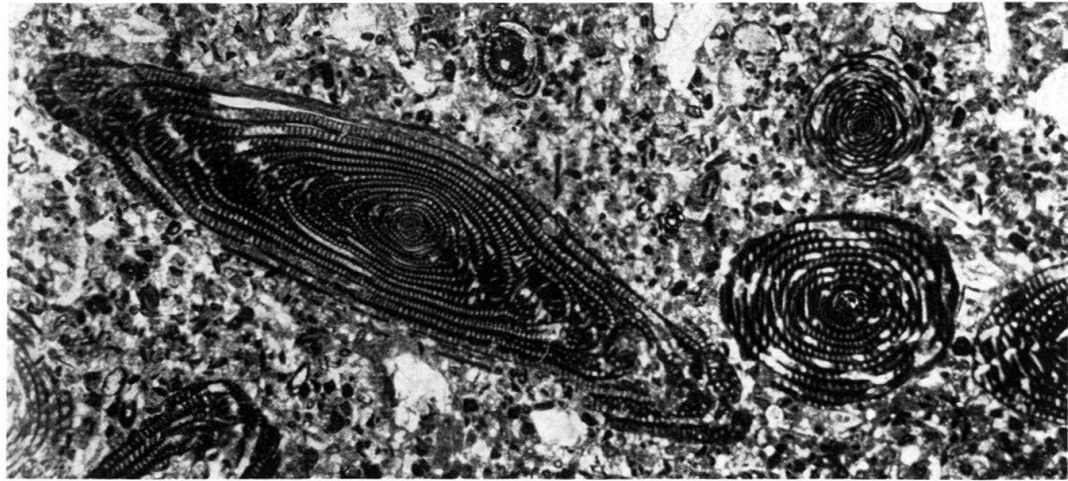


Fig. 5



h

Fig. 6

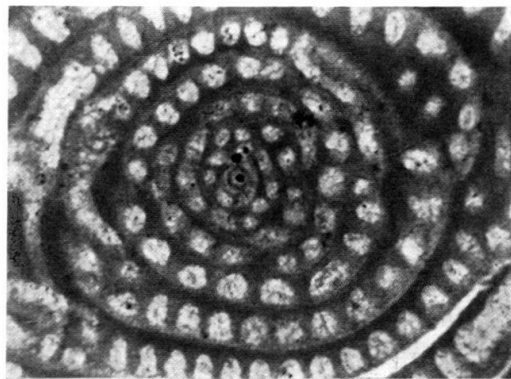
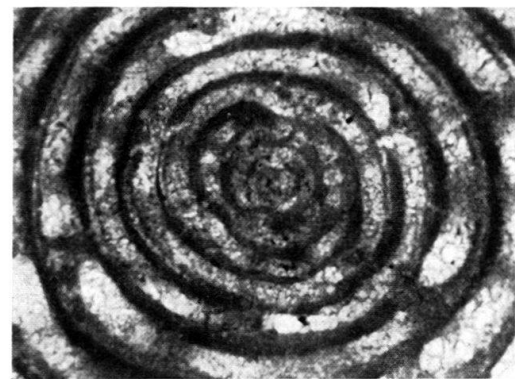
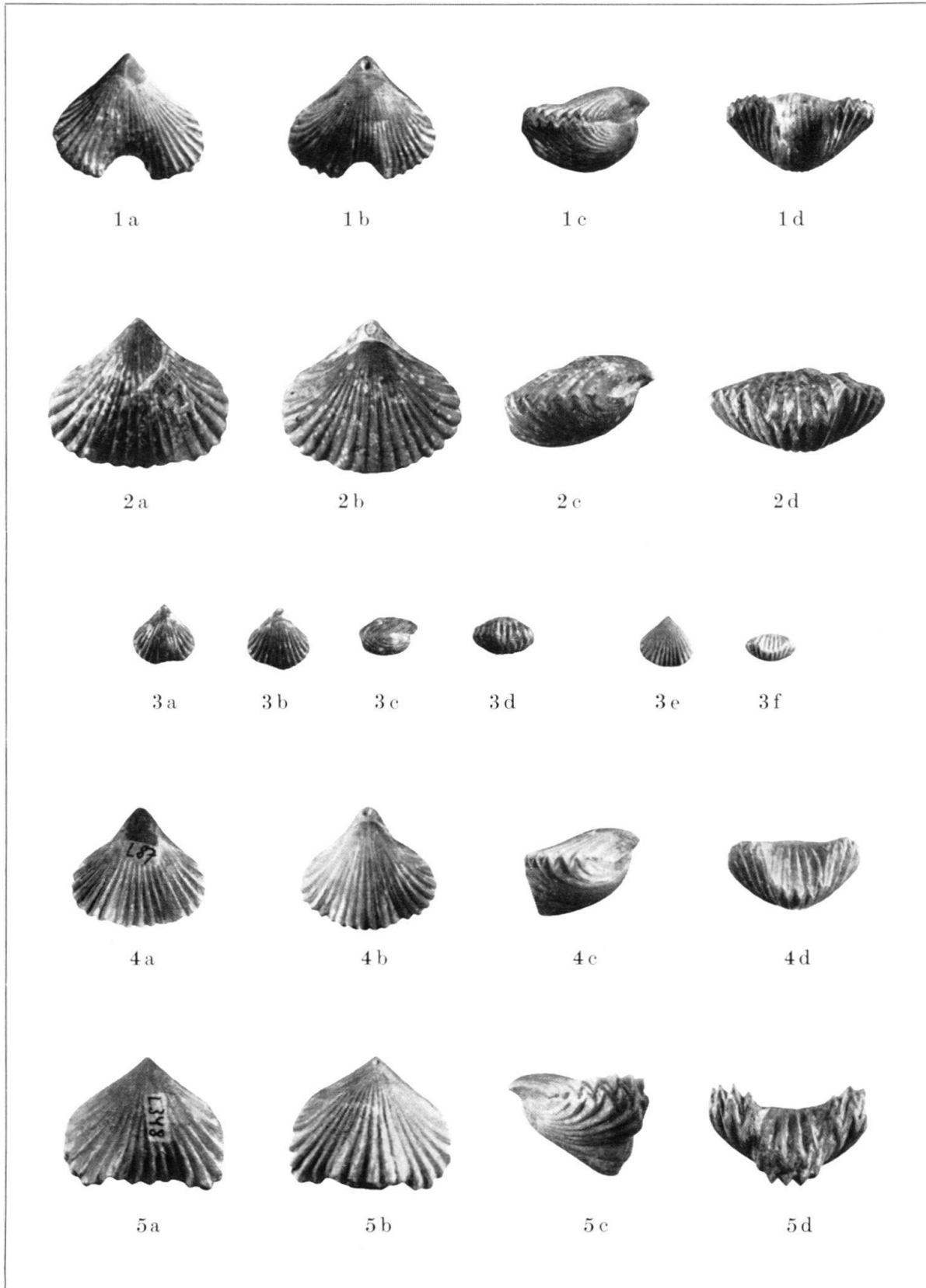


Fig. 7

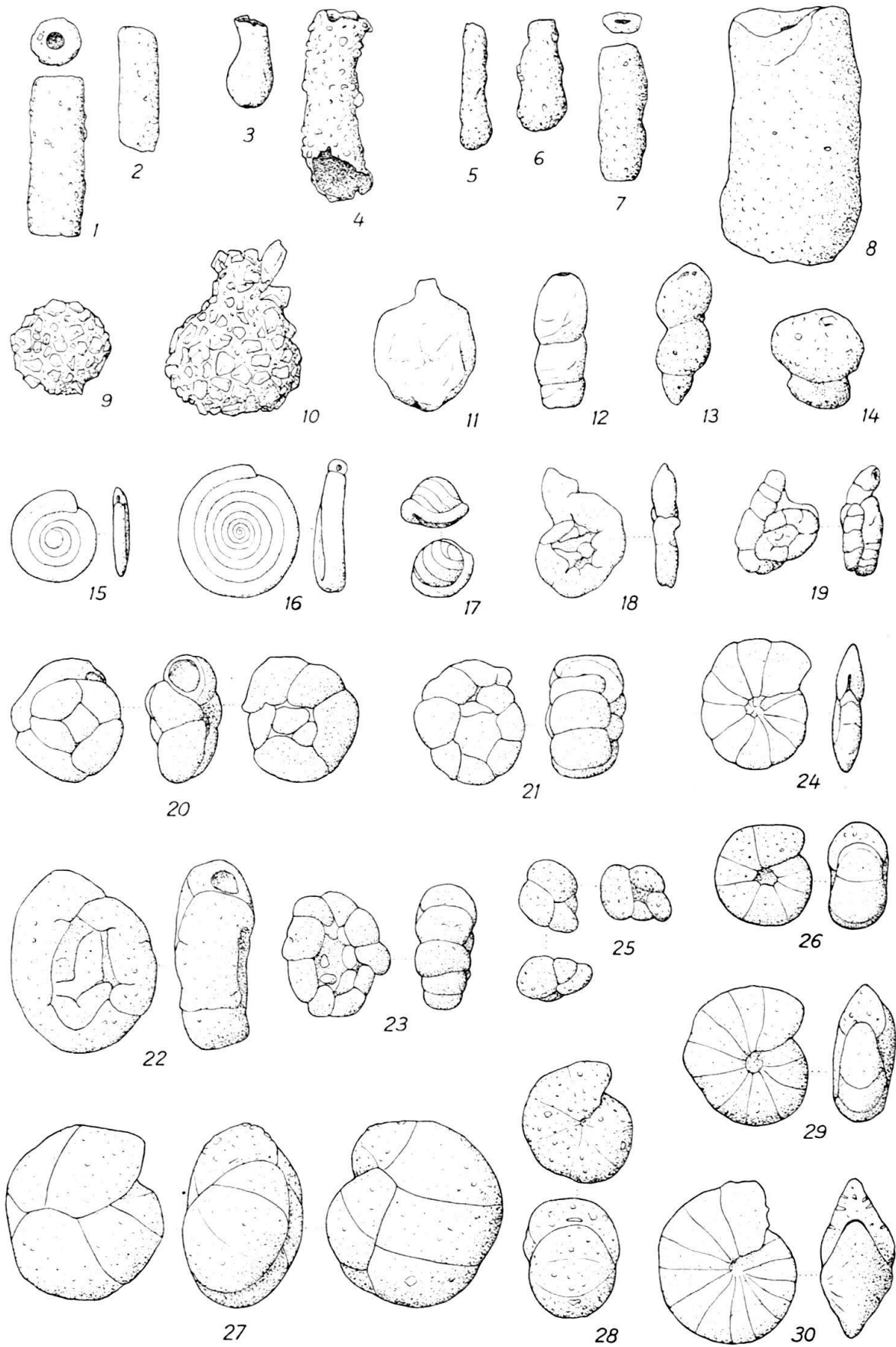




F. B. phot.

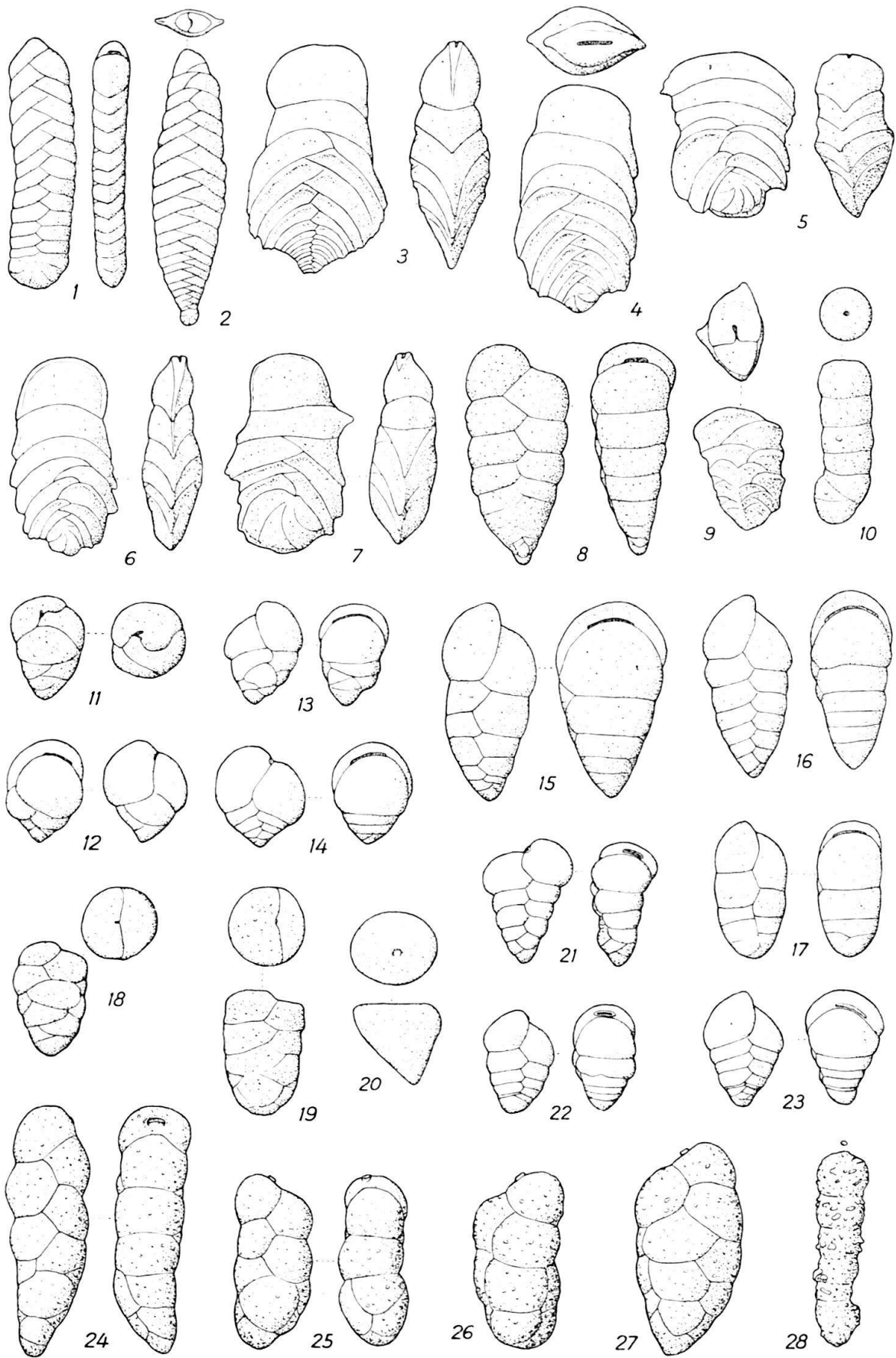
TAFEL XVI

Fig. 1, 2.	<i>Psammosiphonella rzehaki</i> ANDREAE, × 18, Lokalität S. 215.	333
Fig. 3, 4.	<i>Bathysiphon ? irregularis</i> LE ROY, × 10. 3, S. 215. 4, S. 329.	334
Fig. 5–7.	<i>Hyperammina elongata</i> BRADY, × 10. 5, S. 252. 6, S. 914. 7, S. 252.	334
Fig. 8.	<i>Hyperammina friabilis</i> BRADY, × 10, S. 895.	334
Fig. 9, 10.	<i>Psammosphaera fusca</i> SCHULZE, × 18, S. 842.	335
Fig. 11.	<i>Pelosina dubia</i> CUSHMAN & RENZ, × 18, S. 864.	335
Fig. 12.	<i>Hormosina glabra</i> CUSHMAN & STAINFORTH, × 18, S. 903. Fragment.	335
Fig. 13, 14.	<i>Hormosina globulifera</i> BRADY, var. <i>trinitatensis</i> CUSHMAN & RENZ, × 18. 13, S. 215. 14, S. 915.	335
Fig. 15.	<i>Ammodiscus dominicensis</i> BERMUDEZ, × 18, S. 235.	336
Fig. 16.	<i>Ammodiscus glabratus</i> CUSHMAN & JARVIS, × 18, S. 243.	336
Fig. 17.	<i>Glomospira charoides</i> (JONES & PARKER), × 18, S. 211.	336
Fig. 18, 19.	<i>Lituotuba lituiformis</i> (BRADY), × 18. 18, S. 865. 19, S. 235.	336
Fig. 20, 21.	<i>Trochamminoides cf. irregularis</i> WHITE, × 18. 20, S. 787. 21, S. 259.	337
Fig. 22, 23.	<i>Trochamminoides proteus</i> (KARRER), × 18. 22, S. 243. 23, S. 842.	337
Fig. 24.	<i>Haplophragmoides cf. carinatum</i> CUSHMAN & RENZ, × 25, S. 266.	337
Fig. 25.	<i>Haplophragmoides cf. kirki</i> WICKENDEN, × 18, S. 252.	338
Fig. 26.	<i>Haplophragmoides scitulum</i> (BRADY), × 25, S. 255.	338
Fig. 27, 28.	<i>Recurvoides turbinatus</i> (BRADY), × 18. 27, S. 233. 28, S. 842.	338
Fig. 29.	<i>Cyclammina cancellata</i> BRADY, × 18, S. 255.	339
Fig. 30.	<i>Cyclammina deformis</i> GUPPY, × 25, S. 787.	339



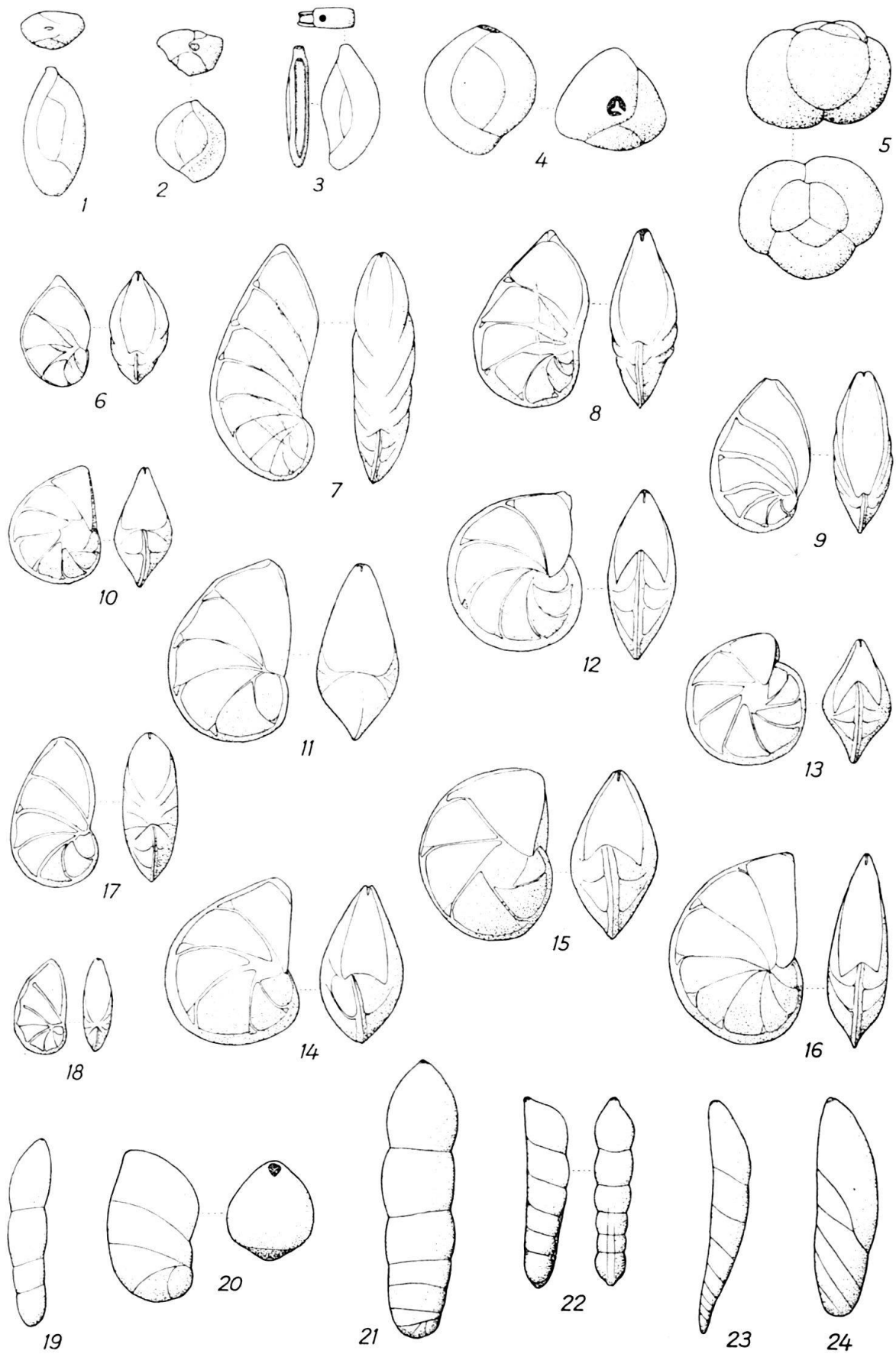
TAFEL XVII

Fig. 1, 2.	<i>Bolivinopsis trinitatensis</i> (CUSHMAN & RENZ), × 18. 1, makrosphärische Form, Lokalität S. 222. 2, mikrosphärische Form, S. 238.	339
Fig. 3–5.	<i>Vulvulina jarvisi</i> CUSHMAN, × 18. 3, S. 987. 4, S. 846. 5, S. P. 208.	340
Fig. 6, 7.	<i>Vulvulina spinosa</i> CUSHMAN, × 18, S. 357. 6, B-Form. 7, A-Form.	340
Fig. 8.	<i>Gaudryina pseudocollinsi</i> CUSHMAN & STAINFORTH, × 18, S. 353.	341
Fig. 9.	<i>Gaudryina jacksonensis</i> CUSHMAN, × 18, S. 1010. Seiten- und Mündungsansicht.	340
Fig. 10.	<i>Pseudoclavulina</i> sp. ind., × 10, S. 850.	341
Fig. 11.	<i>Makarskiana trochoidea</i> VAN SOEST, × 18, S. 788. Seiten- und Mündungsansicht.	341
Fig. 12.	<i>Eggerella bradyi</i> (CUSHMAN), × 18, S. P. 208.	342
Fig. 13.	<i>Dorothia</i> sp. ind., × 18, S. 225.	342
Fig. 14.	<i>Dorothia brevis</i> CUSHMAN & STAINFORTH, × 18, S. 834.	342
Fig. 15–17.	<i>Dorothia biformis</i> FINLAY, × 18. 15, B-Form, S. 1118. 16, B-Form, S. 871. 17, A-Form, S. 353.	342
Fig. 18.	<i>Dorothia colei</i> (NUTTALL), × 18, S. 1009. Seiten- und Mündungsansicht.	343
Fig. 19.	<i>Dorothia nipeensis</i> KEIJZER, × 18, S. P. 210. Seiten- und Mündungsansicht.	343
Fig. 20.	<i>Goësella</i> sp. ind., × 18, S. 247. Seiten- und Mündungsansicht.	343
Fig. 21.	<i>Karrieriella baccata</i> (SCHWAGER), × 18, S. 834.	344
Fig. 22.	<i>Karrieriella bradyi</i> (CUSHMAN), × 18, S. 834.	344
Fig. 23.	<i>Karrieriella grammostomata</i> (GALLOWAY & WISSLER), × 18, S. 910.	344
Fig. 24.	<i>Karrieriella hantkeniana</i> CUSHMAN, × 18, S. 896.	344
Fig. 25, 26.	<i>Karrieriella subcylindrica</i> (NUTTALL), × 18. 25, S. 831. 26, S. P. 205.	345
Fig. 27.	<i>Karrieriella washingtonensis</i> RAU, × 18, S. 833.	345
Fig. 28.	<i>Schenckiella petrosa</i> (CUSHMAN & BERMUDEZ), × 18, S. 870. Der kleine Kreis gibt die Form der Mündung im gleichen Maßstab an.	345



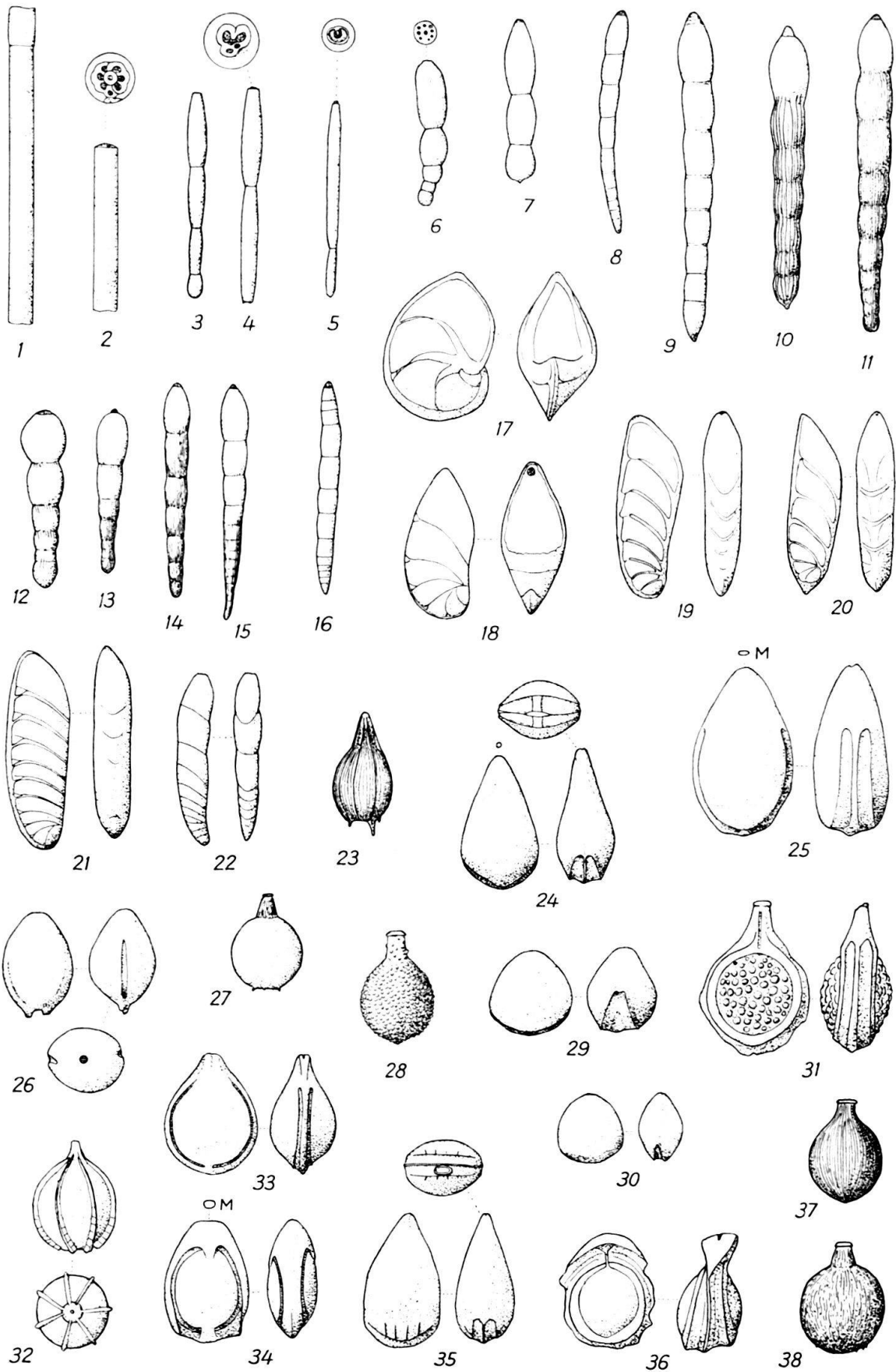
TAFEL XVIII

Fig. 1.	<i>Quinqueloculina moodysensis</i> CUSHMAN & TODD, × 25, Lokalität S. 247. Seiten- und Mündungsansicht.	345
Fig. 2.	<i>Quinqueloculina parvatriangularis</i> HUSSEY, × 35, S. 867. Seiten- und Mündungsansicht.	345
Fig. 3.	<i>Sigmoilina tenuis</i> (CZJZEK), × 35, S. 835. Die letzte Kammer ist längs der Kante aufgebrochen.	346
Fig. 4.	<i>Triloculina trigonula</i> (LAMARCK), × 25, S. 855.	346
Fig. 5.	<i>Trochammina globigeriniformis</i> (PARKER & JONES), var. <i>altiformis</i> CUSHMAN & RENZ, × 18, S. 867.	346
Fig. 6, 7.	<i>Cristellaria mexicana</i> CUSHMAN, × 18. 6, S. 910. 7, S. 800.	347
Fig. 8.	<i>Cristellaria mexicana</i> CUSHMAN, var. <i>alticostata</i> (CUSHMAN & BARNSDALE), × 18, S. 867.	347
Fig. 9.	<i>Cristellaria mexicana</i> CUSHMAN, var. <i>nudicostata</i> CUSHMAN & HANNA, × 18, S. P. 209.	347
Fig. 10, 11.	<i>Cristellaria oblonga</i> (CORYELL & RIVERO). 10, × 10, S. 987. 11, × 18, S. 822.	347
Fig. 12.	<i>Cristellaria occidentalis</i> CUSHMAN, × 18, S. 248.	348
Fig. 13.	<i>Cristellaria occidentalis</i> CUSHMAN, var. <i>glabrata</i> CUSHMAN, × 10, S. 805.	348
Fig. 14, 15.	<i>Cristellaria occidentalis</i> CUSHMAN, var. <i>torrida</i> CUSHMAN, × 18. 14, S. 802. 15, S. 238.	348
Fig. 16.	<i>Cristellaria occidentalis</i> CUSHMAN, flache Varietät, × 18, S. 986.	348
Fig. 17.	<i>Cristellaria variata</i> (HUSSEY), × 18, S. 781.	349
Fig. 18.	<i>Cristellaria</i> sp. ind., × 18, S. 220.	349
Fig. 19.	<i>Marginulina alazanensis</i> NUTTALL, × 18, S. 846.	349
Fig. 20.	<i>Marginulina glabra</i> D'ORBIGNY, var. <i>obesa</i> CUSHMAN, × 18, S. 829. Seiten- und Mündungsansicht. Die Mündung ist abgebrochen.	349
Fig. 21.	<i>Marginulina subrecta</i> FRANKE, × 18, S. 896.	349
Fig. 22.	<i>Dentalina</i> cf. <i>inepta</i> CUSHMAN, × 18, S. 862.	350
Fig. 23.	<i>Dentalina mucronata</i> NEUGEBOREN, × 18, S. 910.	350
Fig. 24.	<i>Dentalina paradoxa</i> HUSSEY, × 18, S. 896.	350



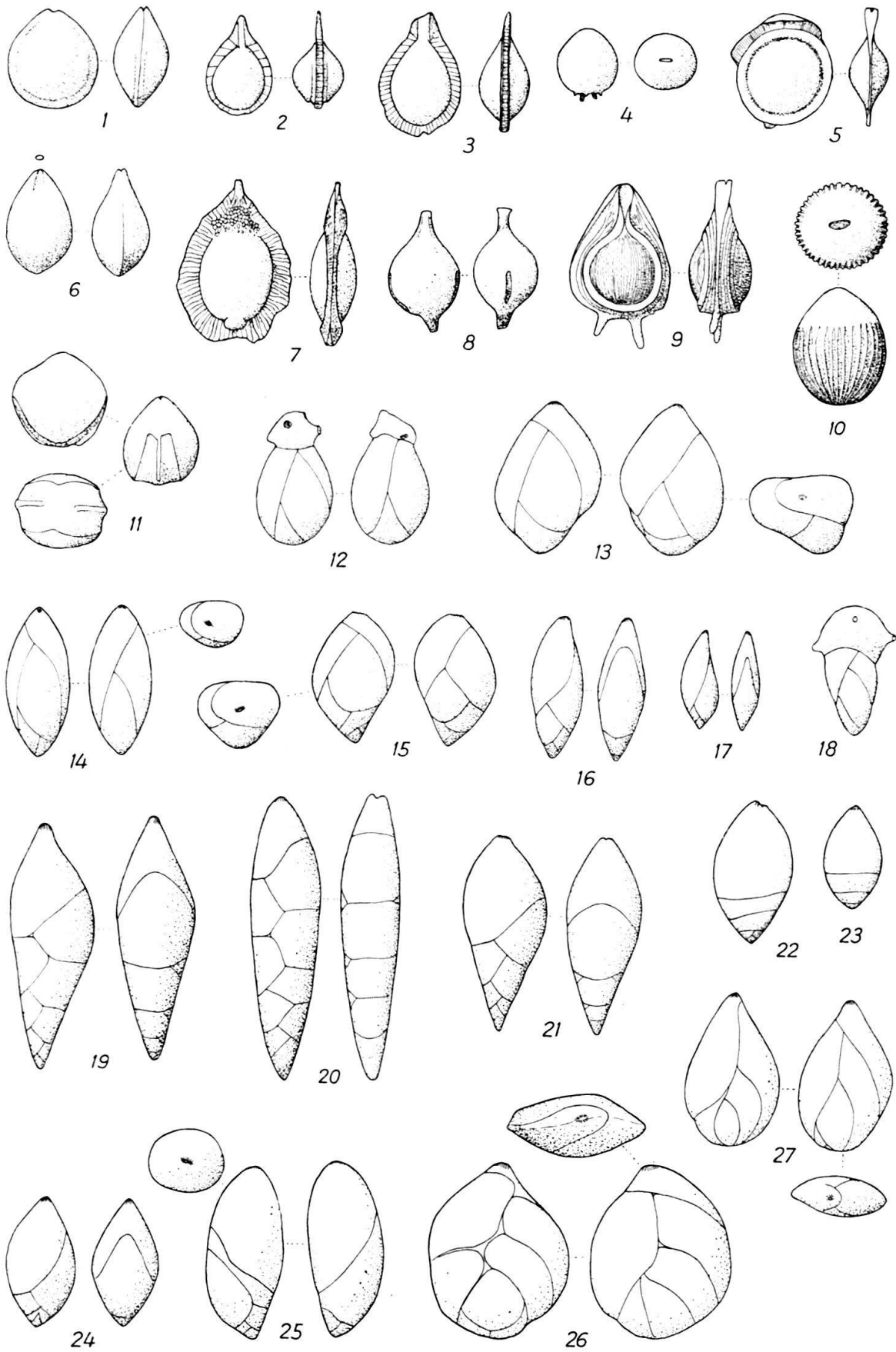
TAFEL XIX

Fig. 1–5.	<i>Nodosaria</i> ? <i>longiscata</i> D'ORBIGNY, × 10, Fragmente. 1, Lokalität S. 1093. 2, Mündung × 20, S. 1093. 3, S. 866. 4, Mündung × 35, S. 866. 5, Mündung × 35, S. 848.	350
Fig. 6.	<i>Chrysalogonium asperum</i> CUSHMAN & STAINFORTH, × 10, S. 1093.	351
Fig. 7.	<i>Chrysalogonium elongatum</i> CUSHMAN & JARVIS, × 10, S. 929.	351
Fig. 8.	<i>Chrysalogonium laeve</i> CUSHMAN & BERMUDEZ, × 10, S. 867.	352
Fig. 9.	<i>Chrysalogonium lanceolum</i> CUSHMAN & JARVIS, × 18, S. 829.	352
Fig. 10, 11.	<i>Chrysalogonium longicostatum</i> CUSHMAN & JARVIS. 10, × 18, S. 240. 11, × 10, S. 353.	352
Fig. 12–15.	<i>Chrysalogonium tenuicostatum</i> CUSHMAN & BERMUDEZ. 12, × 18, S. 839. 13, 14, × 10, S. 841. 15, × 10, S. 836.	352
Fig. 16.	<i>Chrysalogonium</i> sp. ind., × 10, S. 866.	353
Fig. 17.	<i>Saracenaria arcuata</i> (D'ORBIGNY), var. <i>ampla</i> CUSHMAN & TODD, × 18, S. 836.	353
Fig. 18.	<i>Saracenaria hantkeni</i> CUSHMAN, × 18, S. 930. Unvollständig erhaltenes Exemplar mit abgebrochener letzter Kammer.	353
Fig. 19, 20.	<i>Vaginulina subtilius</i> (NUTTALL), × 18. 19, S. 437. 20, S. 822.	353
Fig. 21.	<i>Vaginulina subtilius</i> (NUTTALL), var. <i>multicamerata</i> (CUSHMAN & STAINFORTH), × 18, S. 1096.	354
Fig. 22.	<i>Vaginulina</i> sp. ind., × 18, S. 822.	354
Fig. 23.	<i>Lagena advena</i> CUSHMAN, × 18, S. 355.	354
Fig. 24.	<i>Lagena alveolata</i> BRADY, × 25, S. 215. Vorder-, Seiten- und Basalansicht. Der kleine Kreis über der Vorderansicht gibt die Form und Grösse der Mündung an.	355
Fig. 25.	<i>Lagena alveolata</i> BRADY, elliptische Varietät, × 25, S. 847.	355
Fig. 26.	<i>Lagena alveolata</i> BRADY, var. <i>caudigera</i> BRADY, × 18, S. 208. Vorder-, Seiten- und Mündungsansicht.	355
Fig. 27.	<i>Lagena aspera</i> REUSS, var. <i>spinifera</i> CHAPMAN, × 18, S. 732.	355
Fig. 28.	<i>Lagena asperoides</i> GALLOWAY & MORREY, × 18, S. 833.	355
Fig. 29, 30.	<i>Lagena castanea</i> FLINT. 29, × 25, S. 220. 30, × 18, S. 355.	356
Fig. 31.	<i>Lagena castrensis</i> SCHWAGER, × 25, S. P. 208.	356
Fig. 32.	<i>Lagena ciperensis</i> CUSHMAN & STAINFORTH, × 25, S. 247. Seiten- und Mündungsansicht.	356
Fig. 33, 34.	<i>Lagena crebra</i> MATTHES, var. <i>scissa</i> MATTHES. 33, × 18, S. 833. 34, × 25, S. 218.	356
Fig. 35.	<i>Lagena</i> cf. <i>fimbriata</i> BRADY, × 35, S. 867. Vorder-, Seiten- und Basalansicht.	356
Fig. 36.	<i>Lagena flintiana</i> CUSHMAN, var. <i>indomita</i> (CUSHMAN & STAINFORTH), × 25, S. 218.	357
Fig. 37.	<i>Lagena gracilicosta</i> REUSS, × 18, S. 795.	357
Fig. 38.	<i>Lagena gracilicosta</i> REUSS, unregelmässig gerippte Varietät, × 18, S. 911.	357



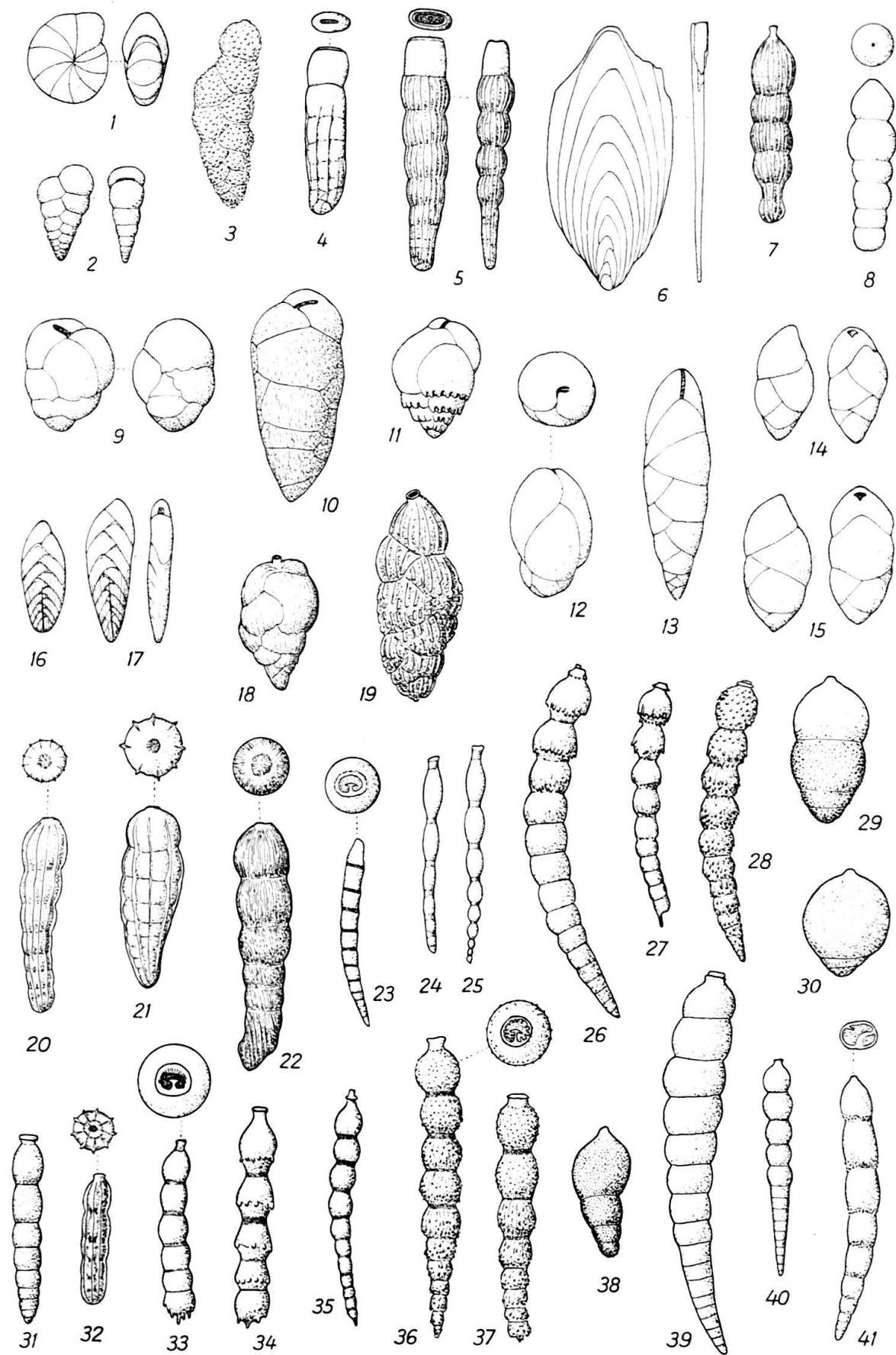
TAFEL XX

Fig. 1.	<i>Lagena laevigata</i> (REUSS), × 18, Lokalität S. 834.	357
Fig. 2, 3.	<i>Lagena lagenoides</i> (WILLIAMSON), × 25. 2, S. 218. 3, S. 352.	358
Fig. 4.	<i>Lagena longispina</i> BRADY, × 18, S. 745. Seiten- und Mündungsansicht.	358
Fig. 5.	<i>Lagena marginata</i> (WALKER & BOYS), × 18, S. 436.	358
Fig. 6.	<i>Lagena obscurocostata</i> (GALLOWAY & WISSLER), × 25, S. 233. Die kleine Ellipse über der Vorderansicht zeigt die Form der Mündung.	359
Fig. 7.	<i>Lagena pulcherrima</i> CUSHMAN & JARVIS, var. <i>enitens</i> CUSHMAN & STAINFORTH, × 18, S. 353.	359
Fig. 8.	<i>Lagena rutschi</i> CUSHMAN & STAINFORTH, × 25, S. 353.	359
Fig. 9.	<i>Lagena scarenaensis</i> HANTKEN, var. <i>glabrata</i> SELLI, × 18, S. 357.	359
Fig. 10.	<i>Lagena sculpturata</i> (CUSHMAN & BERMUDEZ), × 18, S. 438.	359
Fig. 11.	<i>Lagena spinolaminata</i> (CUSHMAN & STAINFORTH), × 18, S. 438.	360
Fig. 12.	<i>Guttulina communis</i> (D'ORBIGNY), × 18, S. 896.	360
Fig. 13.	<i>Guttulina frankei</i> CUSHMAN & OZAWA, × 18, S. 820.	360
Fig. 14.	<i>Guttulina lehneri</i> CUSHMAN & OZAWA, × 18, S. 829.	360
Fig. 15.	<i>Guttulina sororia</i> (REUSS), × 10, S. 856.	361
Fig. 16, 17.	<i>Pyrulina cylindroides</i> (ROEMER), var. <i>curvatura</i> CUSHMAN & STAINFORTH, × 25. 16, S. 235. 17, S. 866.	361
Fig. 18.	<i>Pyrulina extensa</i> (CUSHMAN), × 25, S. 208.	361
Fig. 19–21.	<i>Pyrulinoides antilleanus</i> n. sp., × 18. 19. Holotyp, S. 867. 20, S. 822. 21, S. 725.	361
Fig. 22, 23.	<i>Glandulina laevigata</i> (D'ORBIGNY), × 18. 22, B-Form, S. P. 204. 23, A-Form, S. 244.	362
Fig. 24, 25.	<i>Pseudopolymorphina ovalis</i> CUSHMAN & OZAWA, × 18. 24, S. 870. 25, S. 871.	363
Fig. 26.	<i>Sigmomorphina flintii</i> (CUSHMAN), × 18, S. 858.	363
Fig. 27.	<i>Sigmomorphina trinitatensis</i> CUSHMAN & OZAWA, × 18, S. 886.	363



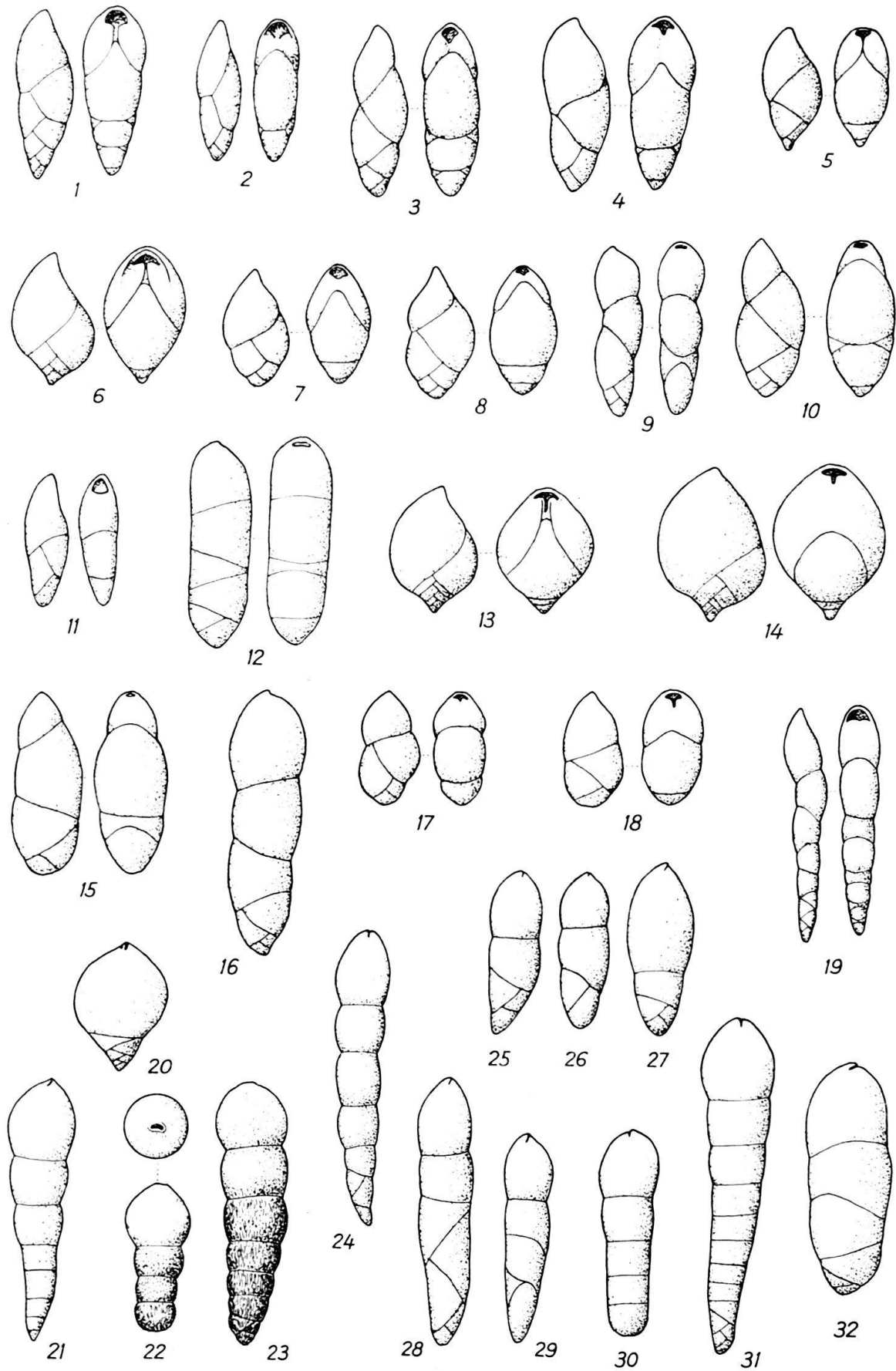
TAFEL XXI

Fig. 1.	<i>Nonion havanense</i> CUSHMAN & BERMUDEZ, × 25, Lokalität S. 355.	363
Fig. 2.	<i>Gümbelina cubensis</i> PALMER, × 50, S. 1073.	364
Fig. 3.	<i>Rectogümbelina inopinata</i> CUSHMAN & STAINFORTH, × 50, S. 835.	364
Fig. 4.	<i>Plectofrondicularia lirata</i> BERMUDEZ, × 18, S. 188.	364
Fig. 5.	<i>Plectofrondicularia trinitatensis</i> CUSHMAN & JARVIS, × 10, S. 243.	365
Fig. 6.	<i>Plectofrondicularia vaughani</i> CUSHMAN, × 35, S. 831.	365
Fig. 7.	<i>Orthomorphina havanensis</i> (CUSHMAN & BERMUDEZ), × 35, S. 835.	365
Fig. 8.	<i>Orthomorphina rohri</i> (CUSHMAN & STAINFORTH), × 10, S. P. 204.	365
Fig. 9.	<i>Buliminella grata</i> PARKER & BERMUDEZ, × 35, S. 355.	366
Fig. 10.	<i>Bulimina jarvisi</i> CUSHMAN & PARKER, × 35, S. 355.	366
Fig. 11.	<i>Bulimina macilenta</i> CUSHMAN & PARKER, × 35, S. 355.	366
Fig. 12.	<i>Bulimina ovata</i> D'ORBIGNY, × 18, S. 911. Seiten- und Mündungsansicht.	366
Fig. 13.	<i>Virgulina ciperana</i> CUSHMAN & STAINFORTH, × 50, S. 870.	367
Fig. 14, 15.	<i>Virgulina</i> sp. ind., × 18. 14, junges Exemplar, S. 1009. 15, S. 928.	367
Fig. 16, 17.	<i>Bolivina</i> cf. <i>tectiformis</i> CUSHMAN, × 35, S. 866. 16, A-Form. 17, B-Form.	367
Fig. 18.	<i>Uvigerina nuttalli</i> CUSHMAN & EDWARDS, × 35, S. P. 211.	368
Fig. 19.	<i>Uvigerina spinicostata</i> CUSHMAN & JARVIS, × 35, S. 867.	368
Fig. 20.	<i>Siphogenerina raphanus</i> (PARKER & JONES), × 18, S. P. 203. B. Seiten- und Mündungsansicht.	368
Fig. 21.	<i>Siphogenerina</i> sp. aff. <i>transversa</i> CUSHMAN, × 18, S. 831.	368
Fig. 22.	<i>Siphogenerina</i> sp. ind., × 18, S. 848.	369
Fig. 23.	<i>Stilostomella annulifera</i> (CUSHMAN & BERMUDEZ), × 10, Mündungsansicht × 25, S. P. 206.	370
Fig. 24, 25.	<i>Stilostomella consobrina</i> (D'ORBIGNY), × 35, S. 867. 24, A-Form. 25, B-Form.	370
Fig. 26, 27.	<i>Stilostomella curvatura</i> (CUSHMAN), × 10. 26, B-Form, S. P. 205. 27, A-Form, S. 870.	370
Fig. 28.	<i>Stilostomella curvatura</i> (CUSHMAN), var. <i>spinea</i> (CUSHMAN), × 18, S. P. 207.	370
Fig. 29, 30.	<i>Stilostomella decurta</i> (BERMUDEZ), × 18. 29, S. 895. 30, S. 1104.	371
Fig. 31.	<i>Stilostomella matanzana</i> (PALMER & BERMUDEZ), × 35, S. 867.	371
Fig. 32.	<i>Stilostomella modesta</i> (BERMUDEZ), × 35, Mündungsansicht × 50, S. 352.	371
Fig. 33.	<i>Stilostomella abyssorum</i> (BRADY), × 10, Mündungsansicht × 25, S. 849.	369
Fig. 34.	<i>Stilostomella abyssorum</i> (BRADY), var. <i>aculeata</i> (CUSHMAN & RENZ), × 18, S. 822.	369
Fig. 35.	<i>Stilostomella abyssorum</i> (BRADY), var. <i>gracillima</i> (CUSHMAN & JARVIS), × 18, S. 849.	369
Fig. 36, 37.	<i>Stilostomella subspinosa</i> (CUSHMAN), × 18, S. 896. 36, B-Form, Mündungsansicht × 25. 37, A-Form.	371
Fig. 38.	<i>Stilostomella tuckerae</i> (HADLEY), × 18, S. 870.	372
Fig. 39, 40.	<i>Stilostomella verneuili</i> (D'ORBIGNY), × 10. 39, S. 868. 40, S. 790.	372
Fig. 41.	<i>Stilostomella</i> ? sp. ind., × 10, Mündung × 35, S. 868.	372



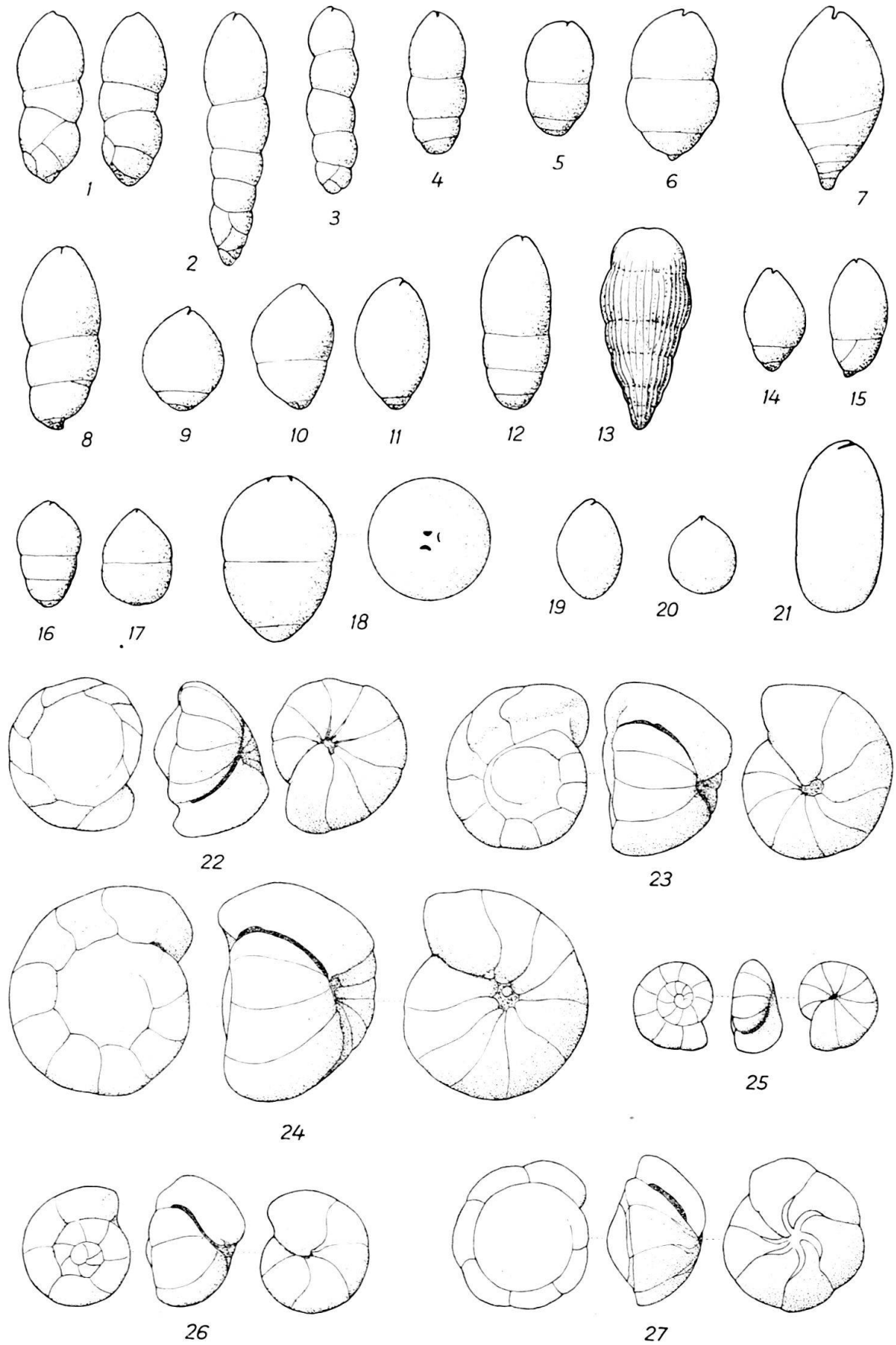
TAFEL XXII

Fig. 1.	<i>Pleurostomella</i> cf. <i>acuta</i> HANTKEN, × 18, Lokalität S. 852.	372
Fig. 2.	<i>Pleurostomella</i> cf. <i>alazanensis</i> CUSHMAN, × 18, S. 352.	373
Fig. 3.	<i>Pleurostomella alternans</i> SCHWAGER, × 25, S. 237.	373
Fig. 4, 5.	<i>Pleurostomella bellardii</i> HANTKEN, × 18. 4, S. 838. 5, S. P. 210.	373
Fig. 6.	<i>Pleurostomella bierigi</i> PALMER & BERMUDEZ, × 18, S. 433.	373
Fig. 7, 8.	<i>Pleurostomella brevis</i> SCHWAGER, × 18. S. 910.	374
Fig. 9.	<i>Pleurostomella ecuadorana</i> CUSHMAN & STAINFORTH, × 18, S. 204.	374
Fig. 10.	<i>Pleurostomella naranjoensis</i> CUSHMAN & BERMUDEZ, × 25, S. 182.	374
Fig. 11, 12.	<i>Pleurostomella nuttalli</i> CUSHMAN & SIEGFUS, × 18. 11, S. 211. 12, S. 849.	374
Fig. 13, 14.	<i>Pleurostomella obesa</i> CUSHMAN & BERMUDEZ, × 25. 13, S. 1200. 14, S. 914.	375
Fig. 15–17.	<i>Pleurostomella praegerontica</i> CUSHMAN & STAINFORTH, × 18. 15, S. 868. 16, S. 870. 17, S. 1284.	375
Fig. 18.	<i>Pleurostomella rimosa</i> CUSHMAN & BERMUDEZ, × 18, S. 830.	375
Fig. 19.	<i>Pleurostomella subcylindrica</i> (CUSHMAN), × 35, S. 835.	375
Fig. 20.	<i>Ellipsopleurostomella schlichti</i> SILVESTRI, × 18, S. 829.	375
Fig. 21.	<i>Nodosarella constricta</i> CUSHMAN & BERMUDEZ, × 18, S. 858.	376
Fig. 22, 23.	<i>Nodosarella mappa</i> (CUSHMAN & JARVIS), × 18. S. 833.	376
Fig. 24.	<i>Nodosarella paleocenica</i> CUSHMAN & TODD, × 25, S. 233.	376
Fig. 25–27.	<i>Nodosarella robusta</i> CUSHMAN, × 18. 25, S. 833. 26, S. P. 206. 27, S. 352.	376
Fig. 28, 29.	<i>Nodosarella salmojraghii</i> MARTINOTTI, × 18. 28, S. 1104. 29, S. 419.	377
Fig. 30, 31.	<i>Nodosarella subnodosa</i> (GUPPY), × 18. 30, S. 825. 31, S. 352.	377
Fig. 32.	<i>Nodosarella</i> sp. ind., × 10, S. 352.	377



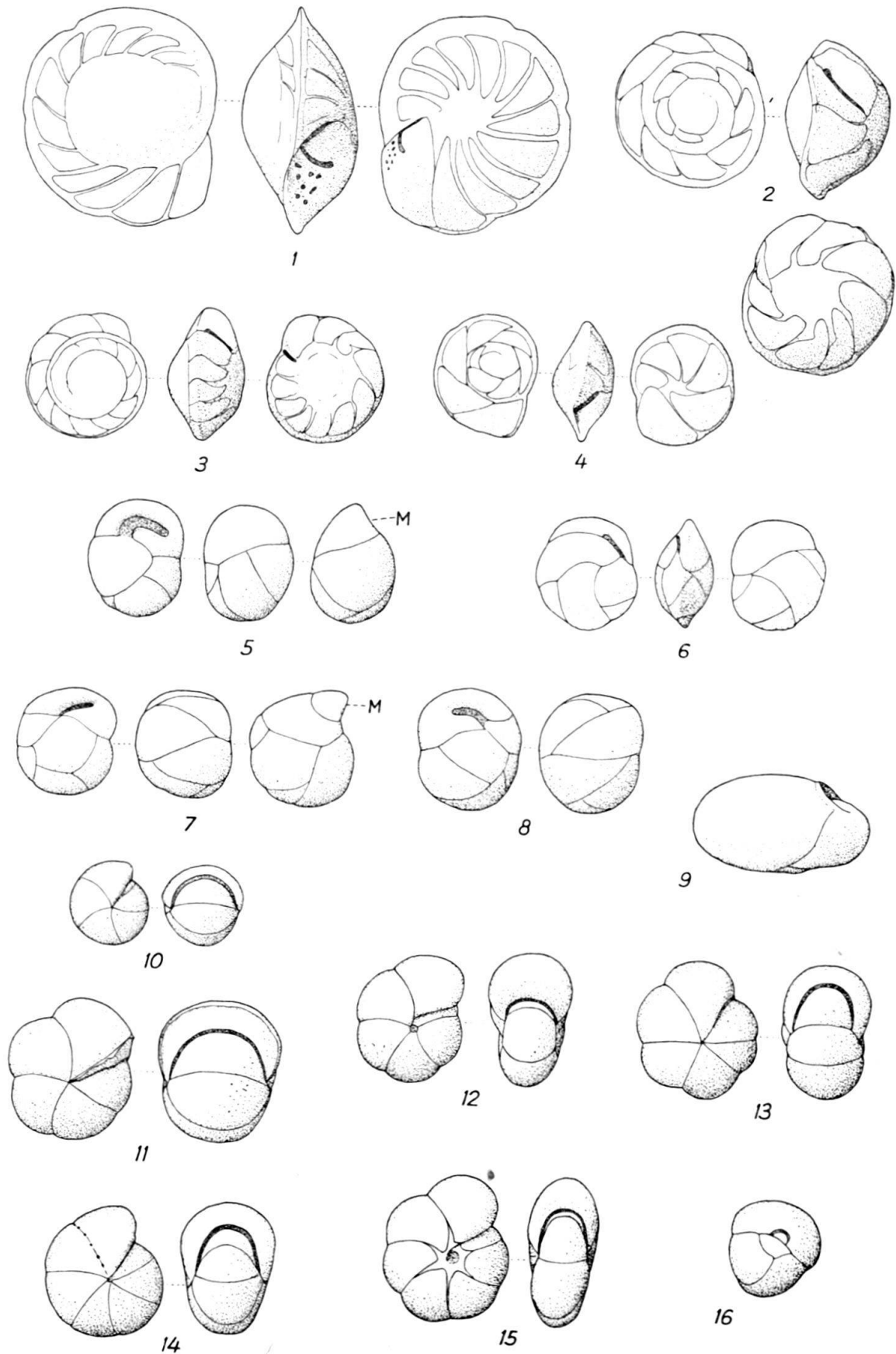
TAFEL XXIII

Fig. 1-4.	<i>Ellipsodimorphina subcompacta</i> LIEBUS, × 25. 1, Exemplar mit triserialer Basis, Lokalität S. 182. 2, do., S. 268. C. 3, Exemplar mit biserialer Basis, S. 268. C. 4, uniseriales Exemplar, S. 219.	378
Fig. 5, 6.	<i>Ellipsoglandulina exponens</i> (BRADY). 5, × 25, S. 188. 6, × 18, S. 822.	378
Fig. 7.	<i>Ellipsoglandulina</i> sp. aff. <i>fragilis</i> BRAMLETTE, × 25, S. 838.	379
Fig. 8.	<i>Ellipsoglandulina</i> cf. <i>inaequalis</i> SILVESTRI, × 18, S. 827.	379
Fig. 9-11.	<i>Ellipsoglandulina labiata</i> (SCHWAGER). 9, × 18, S. 850. 10, × 18, S. 895. 11, × 25, S. 262.	379
Fig. 12.	<i>Ellipsoglandulina</i> cf. <i>laevigata</i> SILVESTRI, × 18, S. 910.	379
Fig. 13.	<i>Ellipsoglandulina multicostata</i> (GALLOWAY & MORREY), × 18, S. 833.	380
Fig. 14, 15.	<i>Ellipsoglandulina principiensis</i> CUSHMAN & BERMUDEZ, × 25. 14, uniseriales Exemplar, S. 849. 15, Exemplar mit unregelmässiger biserialer Basis, S. 871.	380
Fig. 16, 17.	<i>Ellipsoglandulina</i> sp. ind., × 18. 16, S. 775. 17, S. 871.	380
Fig. 18.	<i>Pinaria heterosculpta</i> BERMUDEZ, × 18, S. 848. Seiten- und Mündungsansicht.	380
Fig. 19.	<i>Ellipsoidina ellipsoides</i> SEGUENZA, × 18, S. 788.	381
Fig. 20.	<i>Ellipsoidina ellipsoides</i> SEGUENZA, var. <i>abbreviata</i> SEGUENZA, × 18, S. 837.	381
Fig. 21.	<i>Ellipsoidina ellipsoides</i> SEGUENZA, var. <i>oblonga</i> SEGUENZA, × 18, S. 833.	381
Fig. 22.	<i>Gyroidinoides altiformis</i> (R. E. & K. C. STEWART), × 25, S. P. 211. Dorsal-, Seiten- und Ventralansicht.	381
Fig. 23.	<i>Gyroidinoides girardana</i> (REUSS), × 25, S. 827.	382
Fig. 24.	<i>Gyroidinoides girardana</i> (REUSS), var. <i>perampla</i> (CUSHMAN & STAINFORTH), × 25, S. 838	382
Fig. 25.	<i>Gyroidinoides planulata</i> (CUSHMAN & RENZ), × 25, S. 867.	383
Fig. 26.	<i>Gyroidinoides soldanii</i> (D'ORBIGNY), var. <i>octocamerata</i> (CUSHMAN & HANNA), × 25, S. 833	383
Fig. 27.	<i>Eponides umbonatus</i> (REUSS), var. <i>ecuadorensis</i> (GALLOWAY & MORREY), × 25, S. 834.	383



TAFEL XXIV

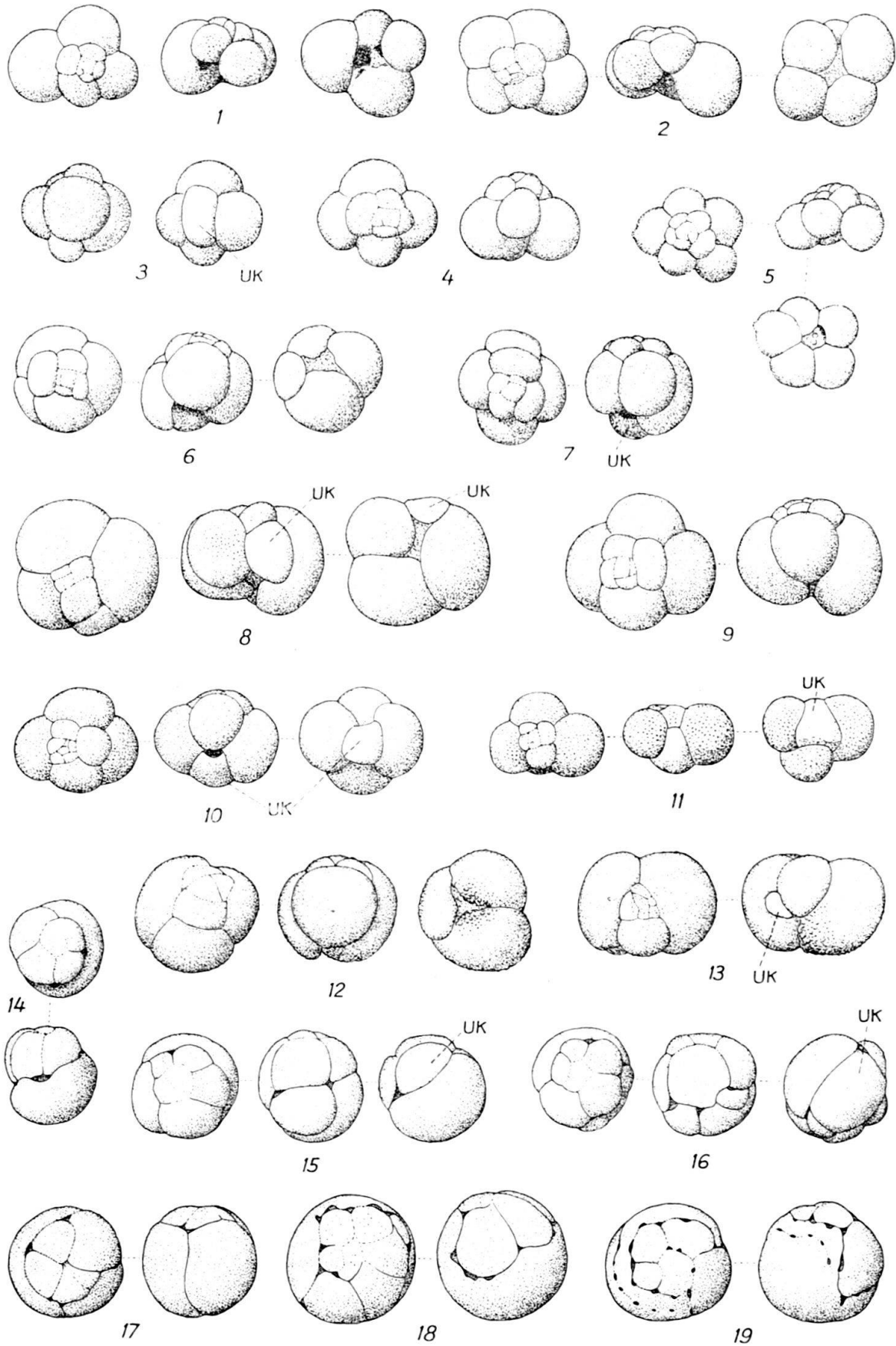
Fig. 1.	<i>Osangularia (Cribroparrella) mexicana</i> (COLE), × 25, Lokalität S. 834. . . .	384
Fig. 2.	<i>Nuttallides trümpyi</i> (NUTTALL), × 25, S. 211.	384
Fig. 3.	<i>Nuttallides trümpyi</i> (NUTTALL), linsenförmige Varietät, × 25, S. 210. . . .	386
Fig. 4.	<i>Alabamina dissonata</i> (CUSHMAN & RENZ), × 35, S. 182.	386
Fig. 5.	<i>Cassidulina caudriae</i> CUSHMAN & STAINFORTH, × 25, S. 845. M = Lage der Mündung auf der Seitenansicht.	387
Fig. 6.	<i>Cassidulina havanensis</i> CUSHMAN & BERMUDEZ, × 25, S. 831.	387
Fig. 7.	<i>Cassidulina subglobosa</i> BRADY, × 25, S. 841. M = Lage der Mündung auf der Seitenansicht.	387
Fig. 8.	<i>Cassidulina subglobosa</i> BRADY, var. <i>horizontalis</i> CUSHMAN & RENZ, × 25, S. P. 211.	388
Fig. 9.	<i>Chilostomelloides ovicula</i> NUTTALL, × 25, S. P. 210.	388
Fig. 10.	<i>Pullenia bulloides</i> (D'ORBIGNY), × 25, S. 268. C.	388
Fig. 11.	<i>Pullenia duplicata</i> STAINFORTH, × 25, S. 1258.	389
Fig. 12, 13.	<i>Pullenia quinqueloba</i> (REUSS), × 25. 12, S. 775. 13, S. 929.	389
Fig. 14.	<i>Pullenia riveroi</i> BERMUDEZ, × 25, S. 833.	389
Fig. 15.	<i>Pullenia trinitatensis</i> CUSHMAN & STAINFORTH, × 25, S. 268. C.	389
Fig. 16.	<i>Sphaeroidina bulloides</i> D'ORBIGNY, × 25, S. P. 212.	390



TAFEL XXV

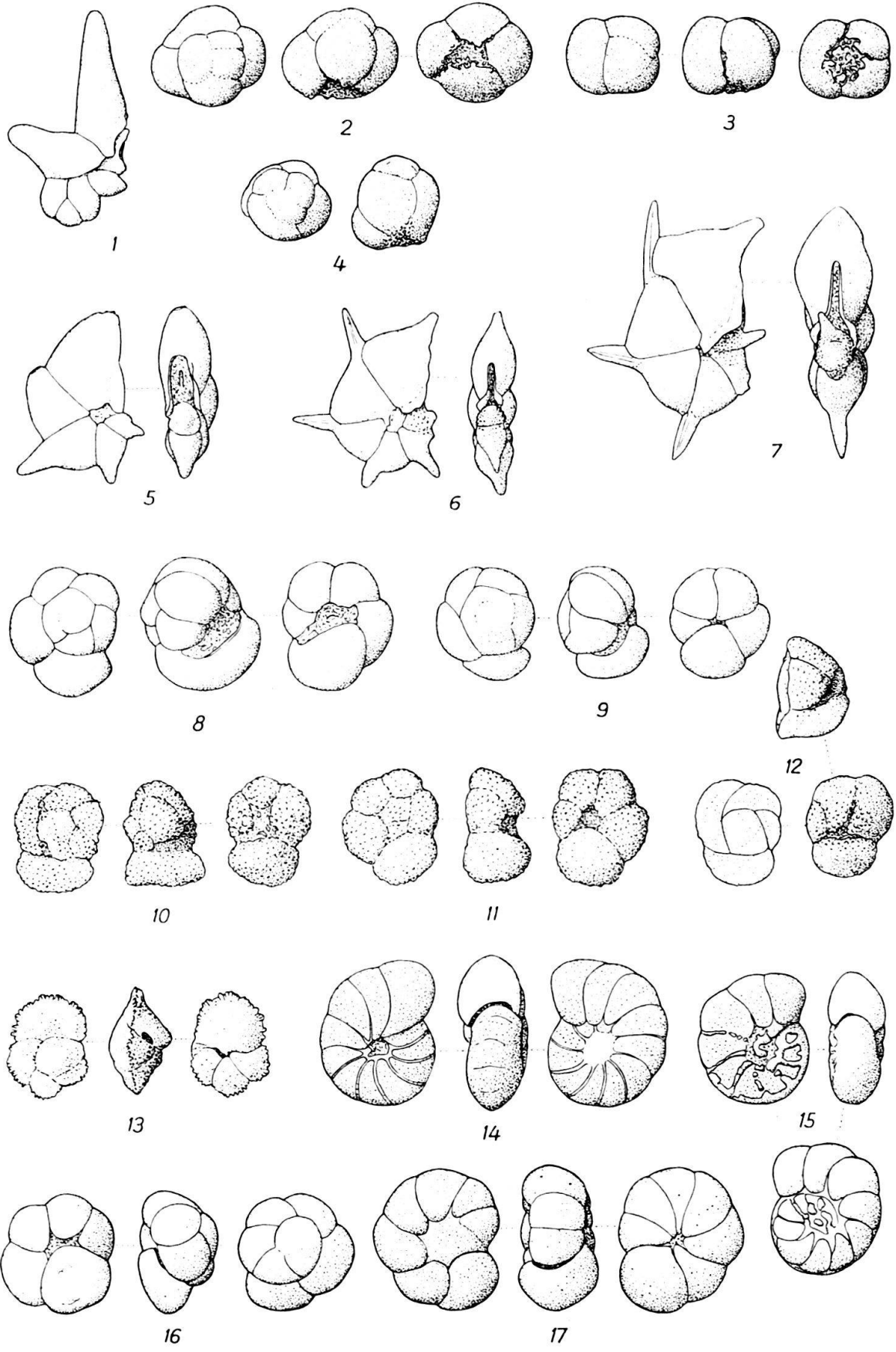
Fig. 1-4.	<i>Globigerina bulloides</i> D'ORBIGNY, × 25. 1, typische Form, Lokalität S. P. 206. 2, Exemplar mit 4½ Kammern im letzten Umgang, S. 834. 3, Exemplar mit Umbilicalkämmerchen (UK), S. P. 206, Seiten- und Ventralansicht. 4, Exemplar mit hoher Dorsalspirale, S. P. 206.	390
Fig. 5.	<i>Globigerina</i> cf. <i>concinna</i> REUSS, × 35, S. 841.	390
Fig. 6-9.	<i>Globigerina conglomerata</i> SCHWAGER, × 25. 6, typische Form, S. 822. 7, Exemplar mit hoher Spirale, S. P. 208. 8, Exemplar mit stark umfassenden Kammern, S. 834. 9, Exemplar mit stark abgesetzten Kammern, S. 834.	391
Fig. 10.	<i>Globigerina dissimilis</i> CUSHMAN & BERMUDEZ, × 25, S. P. 203. B.	391
Fig. 11.	<i>Globigerina eocaena</i> GÜMBEL, × 25, S. 222.	392
Fig. 12, 13.	<i>Globigerina venezuelana</i> HEDBERG, × 25. 12, typische Form, S. P. 203. B. 13, Exemplar mit stark umfassenden Kammern, S. 833.	392
Fig. 14.	<i>Globigerinoides index</i> FINLAY, × 35, S. 224. Dorsal- und Seitenansicht.	392
Fig. 15-19.	<i>Globigerinoides mexicana</i> (CUSHMAN), × 25. 15, 16, S. 204, Dorsal-, Seiten- und Ventralansicht. 17, S. 180. 18, S. 205. 19, S. 206. 17-19, Dorsal- und Seitenansicht.	393

UK = Umbilicalkämmerchen



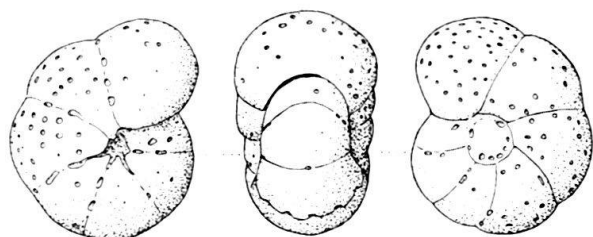
TAFEL XXVI

Fig. 1.	<i>Hastigerinella eocanica</i> NUTTALL, × 25, Lokalität S. 252.	394
Fig. 2-4.	<i>Sphaeroidinella senni</i> n. sp., × 35. 2, Holotyp, S. 209. 3, Exemplar mit niedriger Dorsalspirale, S. 204. 4, Exemplar mit hoher Spirale, S. 209.	394
Fig. 5.	<i>Hantkenina longispina</i> CUSHMAN, × 35, S. 204.	395
Fig. 6.	<i>Hantkenina alabamensis</i> CUSHMAN, × 35, S. 433.	395
Fig. 7.	<i>Hantkenina suprasuturalis</i> BRÖNNIMANN, × 35, S. 433.	396
Fig. 8, 9.	<i>Globorotalia centralis</i> CUSHMAN & BERMUDEZ, × 25. 8, S. 205. 9, S. 224.	396
Fig. 10, 11.	<i>Globorotalia crassata</i> (CUSHMAN), × 35, S. 204.	396
Fig. 12.	<i>Globorotalia crassula</i> CUSHMAN & R. E. STEWART, × 35, S. 204.	397
Fig. 13.	<i>Globorotalia spinulosa</i> CUSHMAN, × 35, S. 428.	397
Fig. 14.	<i>Anomalina alazanensis</i> NUTTALL, var. <i>spissiformis</i> CUSHMAN & STAINFORTH, × 25, S. 868.	399
Fig. 15.	<i>Anomalina bilateralis</i> CUSHMAN, × 25, S. 207	399
Fig. 16, 17.	<i>Anomalina badenensis</i> D'ORBIGNY, × 25. 16, S. 188. 17, S. 870.	399

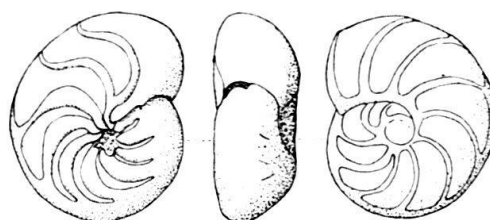


TAFEL XXVII

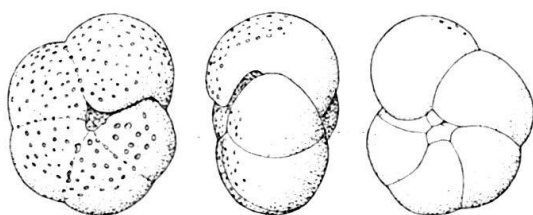
Fig. 1.	<i>Anomalina dorri</i> COLE, var. <i>aragonensis</i> NUTTALL, × 25, Lokalität S. 212.	399
Fig. 2.	<i>Anomalina illingi</i> (NUTTALL), × 25, S. 827.	400
Fig. 3.	<i>Anomalina pompilioides</i> GALLOWAY & HEMINWAY, var. <i>semicibrata</i> n. var., Holotyp, × 25, S. 830.	400
Fig. 4.	<i>Planulina renzi</i> CUSHMAN & STAINFORTH, × 18, S. 833.	401
Fig. 5.	<i>Laticarinina bullbrooki</i> CUSHMAN & TODD, × 25, S. 355.	401
Fig. 6.	<i>Cibicides cookei</i> CUSHMAN & GARRETT, × 25, S. P. 205.	402
Fig. 7.	<i>Cibicides grimsdalei</i> NUTTALL, × 25, S. 828.	402
Fig. 8.	<i>Cibicides havanensis</i> CUSHMAN & BERMUDEZ, × 25, S. 952.	402
Fig. 9.	<i>Cibicides martinezensis</i> CUSHMAN & BARKSDALE, × 35, S. 220.	402



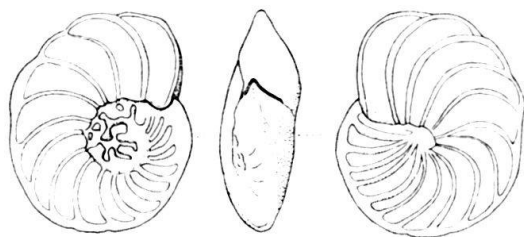
1



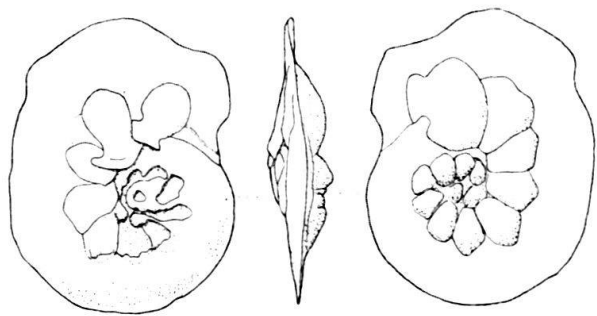
2



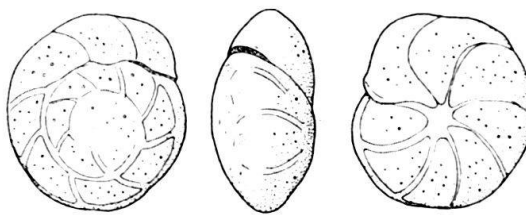
3



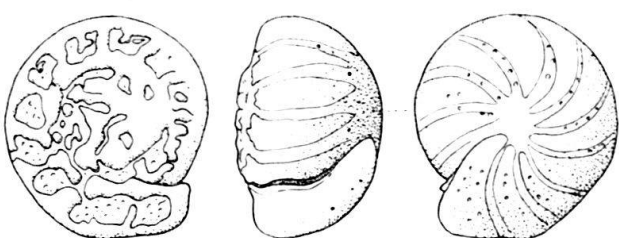
4



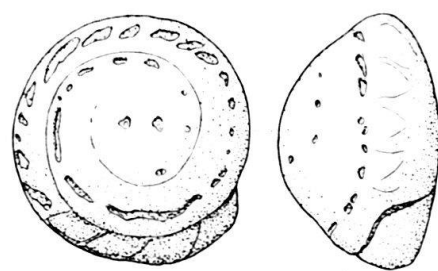
5



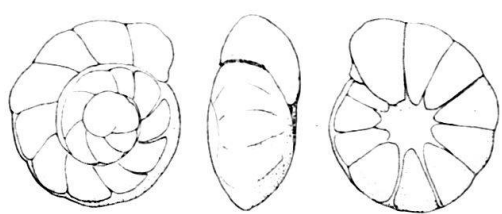
6



7



8

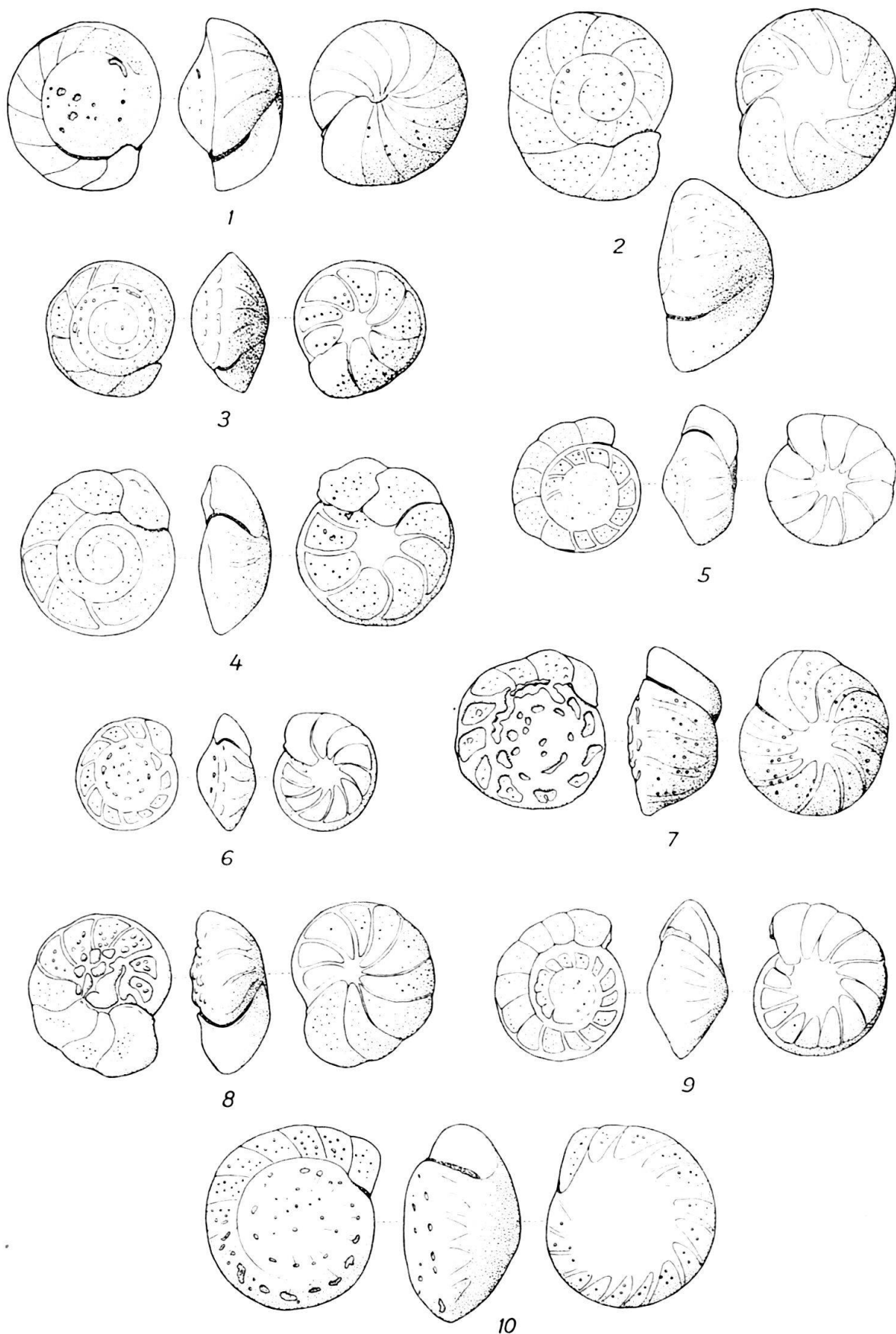


9



TAFEL XXVIII

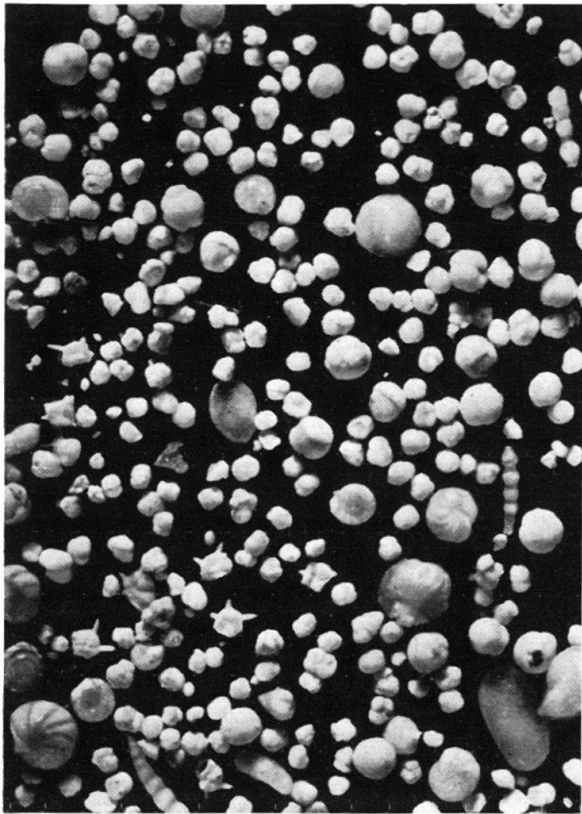
Fig. 1.	<i>Cibicides mexicanus</i> NUTTALL, × 25, Lokalität S. 833.	402
Fig. 2.	<i>Cibicides perlucidus</i> NUTTALL, × 25, S. 788.	403
Fig. 3, 4.	<i>Cibicides pseudoungerianus</i> (CUSHMAN), × 25, S. 895.	403
Fig. 5.	<i>Cibicides robertsonianus</i> (BRADY), var. <i>haitensis</i> CORYELL & RIVERO, × 25, S. 867.	404
Fig. 6.	<i>Cibicides</i> cf. <i>sinistralis</i> CORYELL & RIVERO, × 35, S. 850.	404
Fig. 7.	<i>Cibicides subspiratus</i> NUTTALL, var. <i>limbatus</i> CITA, × 25, S. 204.	404
Fig. 8.	<i>Cibicides trincherasensis</i> BERMUDEZ, × 25, S. 870.	404
Fig. 9, 10.	<i>Cibicides</i> cf. <i>trinitatensis</i> (NUTTALL), × 25. 9, S. 745. 10, S. 408.	404



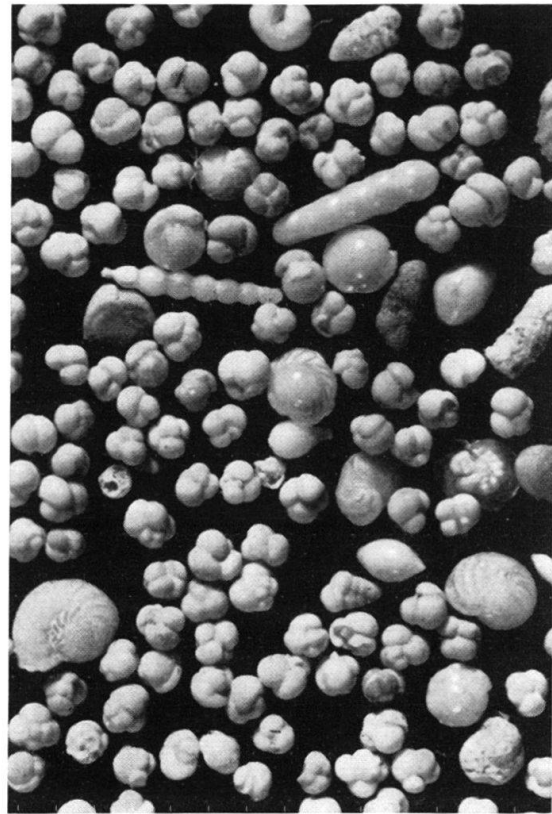
TAFEL XXIX

Faunenbilder

- Fig. 1. Untere Mt.-Hillaby-Schichten (Oberstes Mittel-Eocaen), S. 204. Vorwiegend planktonische Foraminiferen (*Globigerinoides mexicana* (CUSHMAN), kleine Globorotalien, *Hantkenina longispina* CUSHMAN). $\times 8$.
- Fig. 2a Radiolarienerde der Oberen Mt.-Hillaby-Schichten (Ober-Eocaen), S. 791. Radiolarien, Fischzähne und vereinzelte benthonische Foraminiferen. $\times 8$.
- Fig. 2b. Radiolarien aus derselben Fauna. $\times 25$.
- Fig. 3. Codrington-College-Schichten (Unter-Oligocaen), S. 833. Vorwiegend Globigerinen (vor allem *G. conglomera* SCHWAGER). $\times 8$.



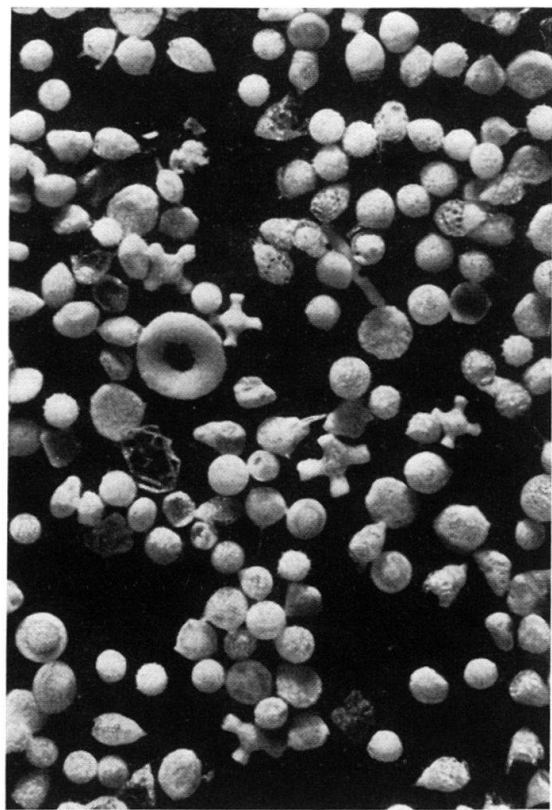
1



3



2a



2b

TAFEL XXX

Vertikale Verbreitung der Foraminiferen innerhalb der Oceanic Formation.

Die foraminiferenführenden Proben sind in regelmässigen Abständen übereinander angeordnet. Die Höhe der einzelnen Abteilungen der Oceanic Formation auf der Tabelle entspricht daher nicht ihrer wahren Mächtigkeit, sondern ist proportional der Anzahl der untersuchten Gesteinsmuster. Durch diese Anordnung konnten die Häufigkeitsschwankungen der einzelnen Arten innerhalb der Oceanic Formation ungefähr im richtigen Verhältnis dargestellt werden. Die Strichdicke gibt die jeweilige Individuenhäufigkeit in einer Probe an.

Die 1.-7. Kolonne der Tabelle geben einen Überblick über die Verteilung der Gesamtfauuna der Oceanic Formation (nach privaten Notizen von A. SENN).

UNTER-EOZOEN		MITTEL- u. OBER-EOZOEN	
Grenzf. Profil		Bath. Profil	
Bath. Profil		Bath. Profil	
1	2	3	4
5	6	7	8
9	10	11	12
13	14	15	16
17	18	19	20
21	22	23	24
25	26	27	28
29	30	31	32
33	34	35	36
37	38	39	40
41	42	43	44
45	46	47	48
49	50	51	52
53	54	55	56
57	58	59	60
61	62	63	64
65	66	67	68
69	70	71	72
73	74	75	76
77	78	79	80
81	82	83	84
85	86	87	88
89	90	91	92
93	94	95	96
97	98	99	100
101	102	103	104
105	106	107	108
109	110	111	112
113	114	115	116
117	118	119	120
121	122	123	124
125	126	127	128
129	130	131	132
133	134	135	136
137	138	139	140
141	142	143	144
145	146	147	148
149	150	151	152
153	154	155	156
157	158	159	160
161	162	163	164
165	166	167	168
169	170	171	172
173	174	175	176
177	178	179	180
181	182	183	184
185	186	187	188
189	190	191	192
193	194	195	196
197	198	199	200
201	202	203	204
205	206	207	208
209	210	211	212
213	214	215	216
217	218	219	220
221	222	223	224
225	226	227	228
229	230	231	232
233	234	235	236
237	238	239	240
241	242	243	244
245	246	247	248
249	250	251	252
253	254	255	256
257	258	259	260
261	262	263	264
265	266	267	268
269	270	271	272
273	274	275	276
277	278	279	280
281	282	283	284
285	286	287	288
289	290	291	292
293	294	295	296
297	298	299	300
301	302	303	304
305	306	307	308
309	310	311	312
313	314	315	316
317	318	319	320
321	322	323	324
325	326	327	328
329	330	331	332
333	334	335	336
337	338	339	340
341	342	343	344
345	346	347	348
349	350	351	352
353	354	355	356
357	358	359	360
361	362	363	364
365	366	367	368
369	370	371	372
373	374	375	376
377	378	379	380
381	382	383	384
385	386	387	388
389	390	391	392
393	394	395	396
397	398	399	400
401	402	403	404
405	406	407	408
409	410	411	412
413	414	415	416
417	418	419	420
421	422	423	424
425	426	427	428
429	430	431	432
433	434	435	436
437	438	439	440
441	442	443	444
445	446	447	448
449	450	451	452
453	454	455	456
457	458	459	460
461	462	463	464
465	466	467	468
469	470	471	472
473	474	475	476
477	478	479	480
481	482	483	484
485	486	487	488
489	490	491	492
493	494	495	496
497	498	499	500
501	502	503	504
505	506	507	508
509	510	511	512
513	514	515	516
517	518	519	520
521	522	523	524
525	526	527	528
529	530	531	532
533	534	535	536
537	538	539	540
541	542	543	544
545	546	547	548
549	550	551	552
553	554	555	556
557	558	559	560
561	562	563	564
565	566	567	568
569	570	571	572
573	574	575	576
577	578	579	580
581	582	583	584
585	586	587	588
589	590	591	592
593	594	595	596
597	598	599	600
601	602	603	604
605	606	607	608
609	610	611	612
613	614	615	616
617	618	619	620
621	622	623	624
625	626	627	628
629	630	631	632
633	634	635	636
637	638	639	640
641	642	643	644
645	646	647	648
649	650	651	652
653	654	655	656
657	658	659	660
661	662	663	664
665	666	667	668
669	670	671	672
673	674	675	676
677	678	679	680
681	682	683	684
685	686	687	688
689	690	691	692
693	694	695	696
697	698	699	700
701	702	703	704
705	706	707	708
709	710	711	712
713	714	715	716
717	718	719	720
721	722	723	724
725	726	727	728
729	730	731	732
733	734	735	736
737	738	739	740
741	742	743	744
745	746	747	748
749	750	751	752
753	754	755	756
757	758	759	760
761	762	763	764
765	766	767	768
769	770	771	772
773	774	775	776
777	778	779	780
781	782	783	784
785	786	787	788
789	790	791	792
793	794	795	796
797	798	799	800
801	802	803	804
805	806	807	808
809	810	811	812
813	814	815	816
817	818	819	820
821	822	823	824
825	826	827	828
829	830	831	832
833	834	835	836
837	838	839	840
841	842	843	844
845	846	847	848
849	850	851	852
853	854	855	856
857	858	859	860
861	862	863	864
865	866	867	868
869	870	871	872
873	874	875	876
877	878	879	880
881	882	883	884
885	886	887	888
889	890	891	892
893	894	895	896
897	898	899	900
901	902	903	904
905	906	907	908
909	910	911	912
913	914	915	916
917	918	919	920
921	922	923	924
925	926	927	928
929	930	931	932
933	934	935	936
937	938	939	940
941	942	943	944
945	946	947	948
949	950	951	952
953	954	955	956
957	958	959	960
961	962	963	964
965	966	967	968
969	970	971	972
973	974	975	976
977	978	979	980
981	982	983	984
985	986	987	988
989	990	991	992
993	994	995	996
997	998	999	1000

Codrington College Schichten
 Obere Bath Schichten
 Untere Bath Schichten
 Obere Mi Hillaby Schichten
 Untere Mi Hillaby Schichten